

AKDENİZ ÜNİVERSİTESİ
FEN BİLİMLERİ ENSTİTÜSÜ

~~X~~ YEŞİLOVA (BURDUR) DOLAYI KROMİTLERİNİN CEVHER
HAZIRLAMAYA YÖNELİK MİNERALOJİK ÖZELLİKLERİ

YÜKSEK LİSANS TEZİ

JEO.MÜH. AFET TUNCAY

T447 | 1-1

TEZ DANİŞMANI

PROF. DR. ATASEVER GEDİKOĞLU

Akdeniz Üniversitesi
Rektörlüğü
Demirbaş No. 4940

OCAK-1990

İÇİNDEKİLER

	<u>Sayfa No</u>
ÖZ	
ABSTRACT	
GİRİŞ	1
COĞRAFYA	3
ESKİ İNCELEMELER	5
I. YEŞİLOVA (BURDUR) YÖRESİNİN GENEL JEOLOJİK ÖZELLİKLERİ	10
1. STRATİGRAFİK VE PETROGRAFİK ÖZELLİKLER ..	10
- ALLOKTON BİRİMLER	10
Yeşilova Ofiyoliti	10
Kızılçadağ Melanjı	14
Varsakyayla Formasyonu	15
- GENÇ OTOKTON BİRİMLER	17
Niyazlar Formasyonu	17
Yamaç molozu ve Alüvyon	17
2. YAPISAL JEOLOJİK ÖZELLİKLER	18
3. OFİYOLİTLERİN OLUŞUMU VE YERLEŞİMİ	20
II. YEŞİLOVA (BURDUR) YÖRESİ KROMİT CEVHERLEŞME- LERİNİN GENEL ÖZELLİKLERİ	22
1. YATAKLARIN DAĞILIMI VE YATAKLANMA ŞEKİLLERİ	22
2. KROMİTLERİN OLUŞUMU	29
3. EKONOMİK ÖNEMLERİ	31

III.	YEŞİLOVA KROMİTLERİNİN MİNERALOJİK ÖZELLİKLERİ	33
1.	POLARİZAN MİKROSKOPTA İNCELENMESİ ...	33
2.	MADEN MİKROSKOBUNDA İNCELENMESİ	36
IV.	YEŞİLOVA KROMİTLERİNİN JEOKİMYASAL ÖZELLİKLERİ	48
V.	YEŞİLOVA KROMİTLERİNİN MİNERALOJİK VE JEOKİMYASAL ÖZELLİKLERİN ÇEVHER HAZIRLAMA BAKİMLİNDAN İRDELENMESİ	54
1.	SERBESTLEŞME DERECESİ	56
2.	TANE ŞEKLİ	71
VI.	SONUÇ VE ÖNERİLER	73
	YARARLANILAN KAYNAKLAR	75

METİN DIŞI EKLER

Çalışma Alanının 1/25.000 ölçekli Jeolojik
Haritası.

Çalışma Alanının Geneleştirilmiş Sütun Kesiti.

Çalışma Alanının Jeolojik Enine Kesitleri.

Kromit Ocaklarının Krokileri.

ÖZ

Batı Toroslarda Yeşilova (BURDUR) batısında Salda Gölü güneyinde yer alan çalışma alanında alttan üste doğru; Yeşilova ofiyoliti, Kızılıcadağ melanji, Varsak-yayla formasyonu, Plio-Kuvaterner çakıltıları (Niyazlar formasyonu), Kuvaterner yaşlı yamaç molozu ve alüvyon bulunmaktadır.

Yeşilova ofiyoliti içinde bulunan kromitler çalışmaların esas konusunu oluşturmaktadır. Küçük boyutlu, düzensiz, mercek şekilli (max. kalınlık 3.0 m, uzunluk 4.0 m) olan kromit zuhupları N10°-35° E doğrultulu 30°-67° SE eğimli ve N30°-35° W doğrultulu, 30° SW eğimlidir. Çalışma alanında görülen kromit kütleleri benekli ve masif yapılidir. Harjburjit içindeki kromit kütleleri değişik kalınlıklarda dunit kılıfı ile çevrilidir. Kromit kütlelerinin oluşum sonrası tektonizmanın etkisinde kaldığı ve bunun sonucu çatlaklı, kırıklı bir yapı ve kataklastik bir doku kazandığı gözlenmiştir.

Kromit kütleleri, kromit minerallerinden başka heazlavodit, spinel ve/veya manyetit içerir. Gang mineralleri ise olivin, krom-klorit, ortopiroksen, serpantin ve çok az kalsittir.

Kromitlerin kimyasal analizi sonucunda %22.50 Cr₂O₃'ten %45.30 Cr₂O₃'e kadar değişen tenör değerleri elde edilmiştir. Tane serbestleşme deneyinde ise zenginleştirme için en uygun tane boyu aralığı 200 mikron olarak belirlenmiştir.

ABSTRACT

Kızılıcadağ melange, Varsakyayla formation, Plio-Quaternary Conglomerate (Niyazlar formation) Quaternary-age scree deposits and alluvium are found in the study area which is located West of Yeşilova (Burdur) and south of Salda Lake in West Taurides.

Chromites which are found in the Yeşilova ophiolite constitute the main subject of the study chromites of little size and irregular lens form (maximum thickness 3.0 m, lenght 4.0 m) are situated N10°-35° E, 30°-67° SE and N30°-35° W, 30° SW. Chromite masses which are seen in the study area are spotted and massive-structured, chromit masses are of different thickness and surrounded by a dunite jacket, chromite masses were affected by techtonism resulting in a fractured and cracked structure in microscopic. Studies it was observed that chromite masses had gained a cataklastik structure.

Chromite masses contain chromite, heazlowodite, spinelle and/or magnetite. Gangue minerals are serpentinized olivine, orthopyroxene (enstatite), chromite-clorite, serpentine and less calsite.

As result of the chemical analysis of the chromites %22.50-45.30 Cr₂O₃ was found. In the of freeing grains the most appropriate range of particule size was determined to be 200 micron.

GİRİŞ

Bu çalışma, Akdeniz Üniversitesi, Fen Bilimleri Enstitüsü, Jeoloji Mühendisliği Bölümü Maden Yatakları ve Jeokimya Anabilim Dalı'nda Yüksek Lisans Tezi olarak hazırlanmıştır.

Çalışmada Yeşilova (Burdur) dolayındaki ultramafik kayaçlara bağlı kromitlerin cevher-yankayaç ilişkisi ve jeokimyasal özellikleri saptanmış olup, ayrıca cevher zenginleştirme işlemleri yapılmıştır. Bölgenin jeoloji haritası değişik zamanlarda değişik kişi ve kurumlar tarafından alınmış olup, böylece jeolojik özellikler ortaya konulmuştur. Bu çalışmalarda çok sayıda kromit zuhuru belirlenmiştir. Belirlenen ocaklardan bir kısmı terkedilmiş, bir kısmı ise halen işletilmektedir.

Bu çalışmada, bölgede mostra veren birimlerin birbirleri ile olan ilişkileri ve tektonik gelişimlerine göre yapılan adlamalar daha önceki çalışmacıların kullandıkları şekliyle benimsenmiştir. Bölgede bulunan çok sayıdaki kromit ocaklarının hepsini incelemek mümkün olmadığından ancak, önemli görülenlerden alınan örnekler, mikroskopik çalışmalar ve kimyasal analizler yapılarak incelenmiş ve böylece bölgedeki kromitlerin jeokimyasal özellikleri ile oluşum koşulları ortaya konulmaya çalışılmıştır. Ayrıca, düşük tenörlü kromitler için cevher hazırlamaya yönelik mineralojik özellikler belirlenmiştir.

Çalışmalarımın yürütülmesini yönlendiren ve her zaman yardımalarını esirgemeyen danışman hocam, Sayın

Prof.Dr.Atasever GEDİKOĞLU'na teşekkürü borç biliyorum.

Ayrıca parlak kesitlerimin incelenmesinde büyük yardımları olan Sayın Prof.Dr.Güler GÖYMEN'e, ince kesitlerimin incelenmesinde yardımlarını esirgemeyen Sayın Doç.Dr.Mustafa KUŞCU'ya ve Sayın Doç.Dr.Ali BİLGİN'e, kimyasal analizlerimin yapılmasında yardımları olan Sayın Doç.Dr.Güleren ÖZKAN'a, parlak kesitlerimin yapılmasını sağlayan M.T.A.elemanlarından Sayın Rüksan TEŞREKLİ'ye, çalışmalarımın cevher hazırlama aşamasında yardımları olan Sayın Yard.Doç.Dr.Ahmet YAMIK'a ve Araştırma Görevlisi Sayın Emin Cafer ÇİLEK'e, çalışmalarda arazime çıkan ve manevi destegini esirgemeyen eşim, Akın TUNCAY'a teşekkür ederim.

COĞRAFYA

Çalışma alanı, (Ek-1) Burdur ili sınırları içe-risinde olup, Yeşilova ilçesinin batısında, Salda Gölü'nün güneyinde yer almaktadır.

Morfoloji

Bölgede topografik yükseltilerde kuzeyden güneye doğru bir alçalma görülür. Genel olarak engebeli bir morfolojiye sahiptir. En yüksek tepeler Tinaz Tepe (2079 m), Ufakpinarlar Tepe (2056 m), Kızlarsivrisi Tepe (2054 m), Karaçamlık Tepe (1918 m), Uluyayla Tepe (1913), Çobanyatağı Tepe (1862 m), Yavşanlı Tepe (1850 m) Gedikağılı Tepe (1817 m), Aktaş Tepe (1721 m) dir.

Yukarıda belirtilen bu yükseltiler arasında geniş düzklere rastlanılmayıp, en alçak yerler 1200 m. ko-tundadır.

İklim ve Bitki Örtüsü

Çalışma alanı Gölleler Bölgesinde yer almaktır ve Akdeniz iklimi etkisi altındadır. Bölgede Akdeniz iklimi hüküm sürdüğünden, bitki örtüsü bodur çam ağaçları ve çalılardan ibarettir. Yerleşim yeri olan Niyazlar Köyü'nde meyve türü ağaçlar yetişirilmektedir.

Hidrografi

Büyük akarsular, Değirmendere, Dereköy boğazı D., Çatakboğazı D., Kuruçayderesi, Karamukçu Dere'dir. Ayrıca bölgede kurumuş olan çok sayıda dere bulunmaktadır.

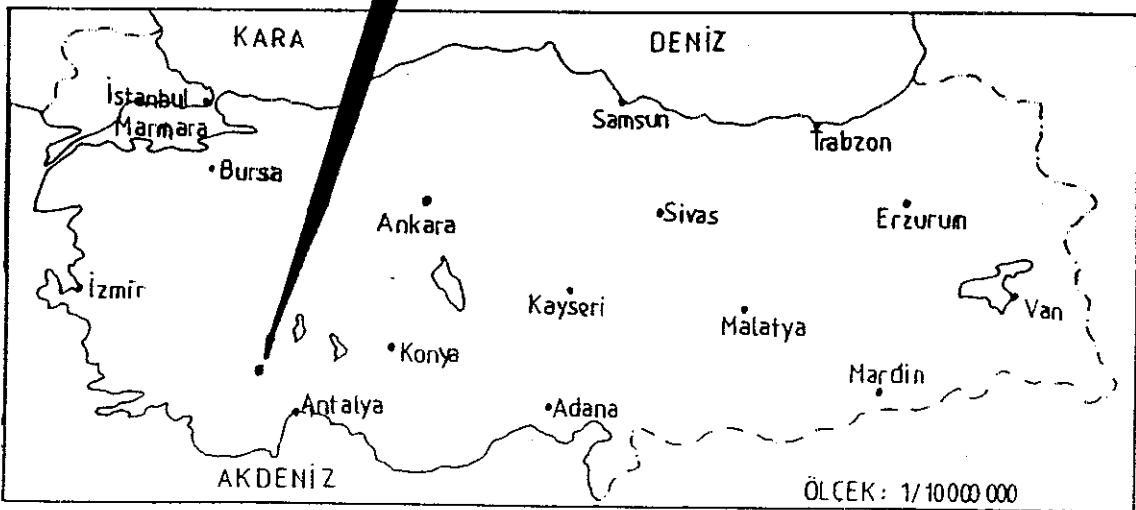
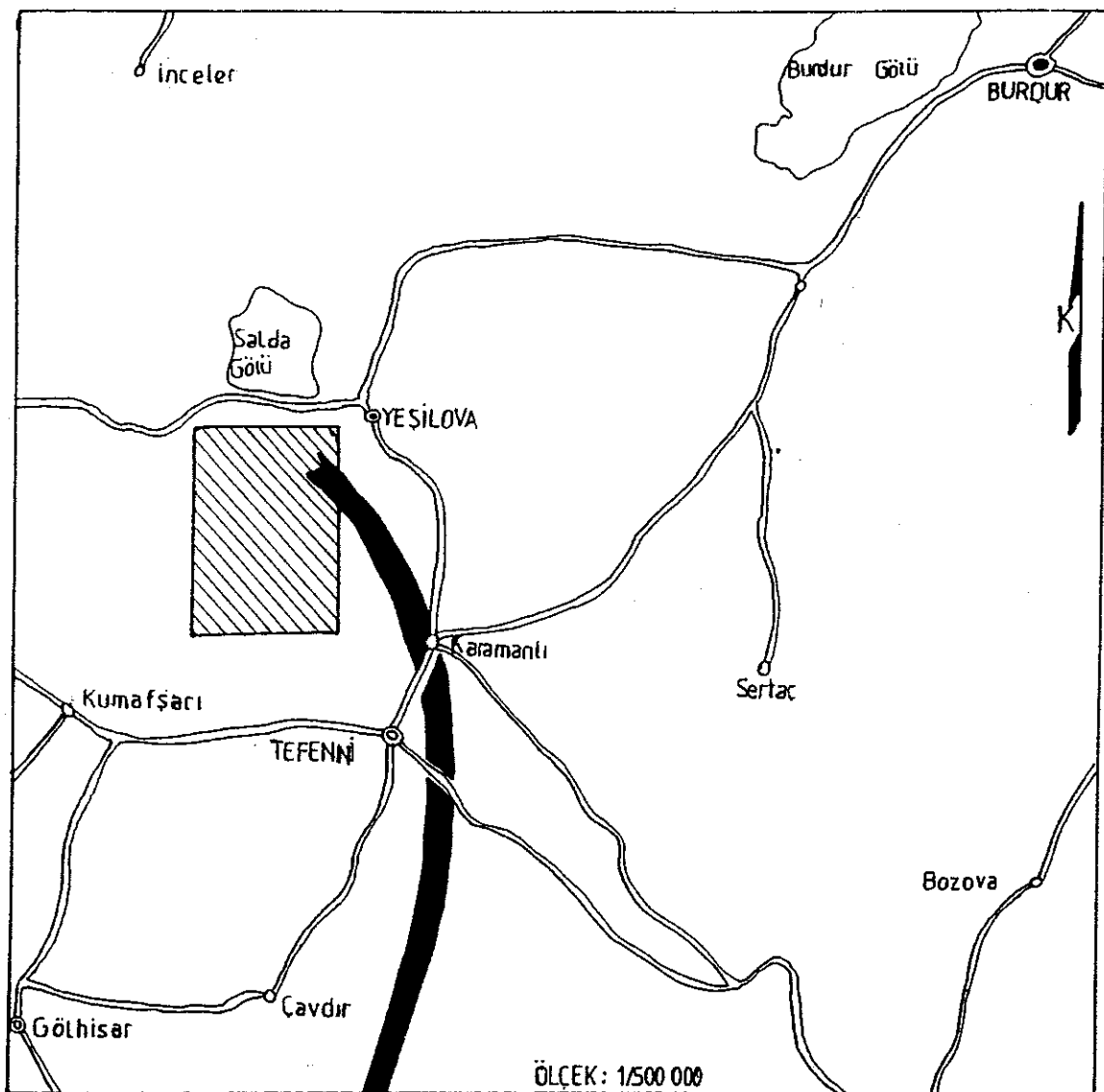
Ulaşım

İnceleme alanının hemen hemen her yerinde orman yolu mevcuttur. Yeşilova'dan Niyazlar Köyü'ne kadar

olan yol asfalttır. Asfalt dışındaki yollarda kış aylarında ulaşım güçlükle sağlanmaktadır.

Ekonomik Durum

Çalışma alanında tek yerleşim yeri Yeşilova'ya yaklaşık 2 km. mesafedeki Niyazlar Köyü'dür. Sınırlı tarım alanına sahip köy halkı, sınırlı bir şekilde meyva (elma) ve sebze yetiştirir. Nohut üretiminin önemli bir yer tuttuğu Niyazlar Köyü'nde leblebi fabrikası kurulmuştur. Yöre halkı ayrıca hayvancılıkla uğraşır. Arıcılığın da önemli olduğu yörede halıcılık da oldukça gelişmiştir. Çalışma konusu olan krom yatakları da yöre ekonomisine katkı sağlamaktadır.



Şekil-1 : Yer Bulduru Haritası

ESKİ İNCELEMELER

Altınlı (1944), Antalya-Burdur-Isparta civarındaki araştırmalarında, bölgede fasiyes benzerlikleri nedeniyle stratigrafik birliklerin birbirlerinden ayrılmışındaki güçlükleri belirtmiş; kumtaşı, kireçtaş, rad-yolarit, silisli şist ve kuvarsit topluluğuna filişimsi seri adını vermiş ve yaşıının jura olduğunu ileri sürmüşdür. Araştırmacı, filişimsi seri üzerinde Senomaniyen yaşlı Rudist ve Actaonella'lı kireçtaşının yer aldığıni, Eosen'in ise diskordanslı olduğunu belirtir. Araştırmacıya göre Hersiniyen kıvrım doğrultuları Antalya körfezi güneydoğusunda, kuzeybatı-güneydoğu; batısında, kuzeydoğu-güneybatıdır.

Flugel (1961), Tefenni-Elmalı-Korkuteli-Yeşilova civarında yaptığı araştırmalarda bölgenin KD-GB doğrultusunda bir ana depresyonla eşit olmayan iki parçaya ayrıldığını belirtir.

Blumenthal (1963), bölgede gezi mahiyetindeki gözlemlerinde daha önce Gödene'nin sileks ve şist seri-si, hornştayn serisi, filişimsi seri ve Dirmil şistleri olarak adlanan birimin Mesozoyik yaşlı neritik karbonatlarla geçişli olduğunu ve bunların otokton olduğunu vurgulamıştır.

Graciansky (1972), Fethiye'den Köyceğiz'e kadar olan alanda yüzeleyen allokton ve otokton mostraları haritalamıştır. Otokton pencereler Senomaniyen'den Alt Miyosen'e kadar kesitler vermektedir. Çalışmasında allokton birimleri birbirinden farklı altı seriye ayırmış, ancak bu serilerin bir kısmın arasındaki ilişkileri net bir biçimde yorumlayamamıştır.

Brunn ve Diğerleri (1973), Teke Toroslarında yaptıkları genel sentezde, bölgenin otokton bir kuşak ile birlikte üç ana napla karakterize edildiğini ileri sürerler. Beydağları ile birlikte Akseki-Seydişehir civarındaki, kalın Mesozoyik karbonat hatlarının otokton kuşağı oluşturduğunu, bunların üzerinde kuzeybatıdan itilen ve çeşitli birimleri kapsayan Langiyen bindirme yaşılı Likya Napları; kuzeydoğudan itilen ve bünyesinde değişik kaya birimleri bulunduran Lütesiyen-Priaboniyen bindirme yaşılı Beyşehir-Hoyran-Hadım Napları ve geliş yönünün tartışmalı olduğu, değişik birimlerden oluşan Üst Kratese yaşılı Antalya Naplarının allokton olduğunu varsayarlar.

Özgül (1976), Toros kuşağında yaptığı genel sentezde Menderes Masifi ile Beydağları otoktonu arasında bulunan Likya Naplarını, Bozkır Birliği'ne dahil etmiş ve bunların üzerinde yer yer Aladağ Birliği'ne ait kliplerin bulunduğu açıklamıştır.

Sarp (1976), çalışma alanının hemen kuzeyindeki ofiyolitlerin petrografi, petroloji ve jeokimyasını ortaya koymuştur. Araştırmacı, bölgede alttan üste doğru tektonitler, kümülatlar ve yer yer yastık lavlardan oluşan ofiyolitlerin okyanus ortası malzemesi olduğunu ileri sürer.

Yıldız ve Diğerleri (1976), Burdur (Yeşilova-Tefenni) ve Denizli (Acıpayam) peridotit masiflerinde krom prospeksiyon çalışması yapmışlardır. Kromit zehirlarının düzenli bir yayılım içinde olduğunu, genel uzanımın KD-GB yönünde ve eğim istikametinin de KB'ya doğru olduğunu belirtirler.

İncelenen alanda harzburgitlerin yaygın olup, yer yer dunit ve az miktarda da bazik kayaçların bulunduğu, tektoniğin yoğun olduğu fay zonlarında serpentinleşme ve talklaşma görüldüğünü, üstteki Mesozoyik yaşılı kireçtaşlarıyla peridotitlerin arasındaki dokanağın tektonik olduğunu belirtirler.

Poisson (1977), Menderes Masifi ile Aksu Çayı arasında kalan ve kuzeyde Isparta'ya kadar uzanan bölgeyi içine alan çalışmasında formasyonları üç ana bölümde ele almıştır:

- 1- Beydağları ve Susuzdağ,
- 2- Lisiyen (Likya) Napları,
- 3- Antalya Napları.

Beydağları otoktonunda Jura'dan başlayan ve Miyosen'e kadar devam eden bir istif bulunduğu, Jura'dan Senonyien'e kadar neritik fasiyeste kireçtaşlarının çökeldiğini, Senonyien'de kuzey ve batıda denizin derinleşerek pelajik kireçtaşlarının oluştuğunu, Üst Kretase'den sonra Antalya Naplarının gelişiyile ilgili olarak olistostromun oluştuğunu, Eosen-Oligosen sedimantasyonun ardından Miyosen transfresyonunun Antalya Napoliyla Beydağları otoktonunu örtüğünü belirtir. Orta Miyosen'de Likya Napları'nın bölgeye geldiğini ve Isparta büklümünde yer alan çalışma alanının birçok tektonik etkiler sonucu bu duruma geldiğini belirtir.

Brinkman ve Diğerleri (1982), Batı Toroslar dört büyük Jeolojik üniteden oluşur. Bu üniteler, doğudan batıya doğru Antalya Napları, Beydağları otoktonu, Elmalı (Likya) Napları ve Menderes Masifi'dir. Antalya Napları araştırmacıların konusu dışında kalmıştır.

Beydağları otoktonunda, Juradan yaşlı birimler yüzeylemez ve Alt Miyosen (Burdigaliyen) sonuna kadar şelf tipi bir istif görülür. Çalışma alanında yüzeyleyen Kretase-Akitaniyen bölümünü tamamen karbonat, Burdigaliyen ise molas karakterindedir. Elmalı Napları, ofiyolitlerle melanjin dışında beş sedimanter seriden oluşmaktadır. Serilerin bir kısmı Karbonifer'e kadar inerken bir kısmı da Üst Triyas-Orta Eosen arasıdır. Elmalı Napları'nın en altındaki Orta Eosen-Üst Eosen yaşlı filis haric, diğer tüm karbonat serileri ve ofiyolitler bugünkü Beydağları'na, Menderes Masifi'nin kuzeyinden gelmişlerdir. Üst Kretase'den itibaren, kademeli olarak sıyrılıp iler-

lemeye başlayan naplar, Menderes Masifi'ni Orta Eosen'de Beydağları otoktonunu ise Langiyen'de üzerlemışlardır. Bugün napların batı ucu Menderes Masifi'nin Alt-Orta Eosen çökelleri üzerinde, doğu ucu Beydağları otoktonun Burdigaliyen molası üzerinde tektonik dokanaklarla oturur.

Günay ve Diğerleri (1982), Finike-Isparta arasındaki çalışma alanında otokton Beydağları Birliği'nin kuzeybatısındaki Elmalı Birliği ile doğusundaki Antalya Birliği'nin tektonik olduğunu ve Beydağları Birliği'nin Triyas'tan Kuvaterner'e kadar çögünüluğunu karbonat olan kaya birimlerini kapsadığını belirtmiştir. Beydağları, Kretase'den sonra kuzey-güney, Eosen sonunda Kuzeydoğu-güneybatı, Orta Miyosen'den sonra doğu-batı yönlü sıkışma kuvvetlerinin; Pliyo-Kuvaterner'de bölgesel gerilme kuvvetlerinin etkisinde kalmıştır.

Şenel ve Diğerleri (1986), Teke yarımadası kuzeybatı iç kesiminde Beydağları otoktonu ile Likya Napları arasında yer alan Gömbe Akdağ'ı, Arazon ve Akdağ Napi olmak üzere birbirinden farklı üç ana yapısal birlikten oluşmaktadır.

Gömbe Akdağının temelini Üst Kretase'den Lütesiyen'e kadar neritik kireçtaşı meydana getirir. Akitaniyen breşik kireçtaşı ile transgressif olan Burdigaliyen-Langiyen alttan üste doğru Alg'lı kireçtaşı, killi kireçtaşı, kilitaşı, kumtaşı ve çakıltaşları içerir.

Arazon, kısmen özdeş yaşı olmasına rağmen farklı ortam koşullarını yansitan Gömbe Grubu ve Yavuz Formasyonu'nun tektonik olarak biraraya gelmesinden oluşur.

Akdağ Napi ise genelde Mesozoyik yaşı, az çok farklı stratigrafik istiflenme sunan Ahırgediği birimi, Uyluktepe birimi, Deveçukuru birimi, Sırattepe birimi ve Mandırkava birimlerinin muhtemelen Alt Paleosen sırasında tektonik olarak biraraya gelmesiyle oluşmaktadır.

Langiyen'de kuzeybatı-güneydoğu doğrultusunda gelişen sıkışma tektoniği Gömbe Grubu'nun Beydağları otoktonu üzerine, Yavuz Formasyonu'nun Gömbe Grubu üzerine, Akdağ Napi'nın ise altına küçük ofiyolitli melanj-olistostrom tektonik dilimleri alarak Yavuz Formasyonu üzerine bindirmesini sağlamıştır.

I. YEŞİLOVA (BURDUR) YÖRESİNİN GENEL JEOLojİK ÖZELLİKLERİ

1. STRATIGRAFİK VE PETROGRAFİK ÖZELLİKLER

Karaman (1987)'e göre, stratigrafik ve petrografik özellikler aşağıda verilmiştir.

Çalışma alanında farklı ortamlarda oluşmuş kaya birimleri bulunmaktadır. Çalışmalar sonucunda çalışma alanındaki kaya türleri, oluşum yerleri ve tektonik özelliklerine göre;

1. Allokton Birimler

- Yeşilova ofiyoliti
- Kızılçadağ melanji
- Varsakyayla formasyonu

2. Genç Otokton Birimler,

olmak üzere iki bölümde etüd edilmiştir.

ALLOKTON BİRİMLER

Çalışma alanındaki allokton birimler Yeşilova ofiyoliti, Kızılçadağ melanji, Varsakyayla Formasyonundan oluşmaktadır.

YEŞİLOVA OFİYOLİTİ

Bu çalışmada Yeşilova ofiyolitindeki kayaçlar üç ana birime ayrılırlar:

- Tektonitler
- Kümülatlar
- Damar ve derinlik kayaçları

Tektonitler (Kyt) : Ofiyolitler içerisinde yer alan, tektonit fabrikli, olivin, ortapiroksen, klinopiroksen ve spinel (kromit, v.s.) içeren kayaçlara tektonitler (metamorfik peridotitler) denir. Tektonitler ofiyolit istiflerinin taban kesimlerini oluştururlar ve genel olarak mevcut en yaygın kayaç tipidir.

Çalışma alanında tektonitler başlıca harzburjit ve onların içindeki dunitle, dunit kılıflı podiform kromit kütelerinden (Thayer, 1960) oluşturmaktadır.

Harzburjitel taze ya da hafif serpantinleşmiş yerlerde zeytin yeşili renge sahiptirler. Harzburjit yüzeyleri atmosferik oksidasyon nedeniyle kahverengi-kırmızımsı bir renge bürünmüştür. Yakından incelendiğinde, limonitleşmiş bu kesimlerin yüzeyde 5-15 cm. kalınlıkta oldukları gözlenmiştir. Aşınmanın etkisiyle, aşınmaya karşı daha dirençli olan ortapiroksen kristalleri çıkışıntılar oluştururlar.

Harzburjitel serpantinleşmenin yoğun olduğu yerlerde koyu yeşil, siyah renk sunarlar ve ancak orto piroksen kristallerinin gözlenmesiyle tanınırlar. Buradan da olivinin piroksene nazaran daha çabuk ve kolay serpantinleştiği söylenebilir. Harzburjitel kırıklı, yarıklı bir yapı göstermekte olup, kırık ve kenar zonları (ezik zonlar) boyunca farklı oranelarda serpantinleşme olayının etkisi altında kalmışlardır. Bu yarıklar, makaslanmaya veya kırılmaya maruz kaldığında, ilk kırıklar boyunca meydana gelen serpantinit yağ görevini görür, yani hareket bu yarıklar boyunca kolaylaşır. Şiddetli tektonizma ve serpantinleşmenin sonucunda peridotit içindeki mineralojik ve yapısal özellikler tamamen bozulurlar.

Yaptığımız mikroskopik incelemeler sonucunda da harzburjit içindeki enstatit, (ortapiroksen) ve olivinin coğunlukla serpantinleştiği gözlenmiştir, (Foto-1).

Akdeniz Üniversitesi
Rektörlük Kütüphanesi
Demansya No: 4940

Akdeniz Üniversitesi
Rektörlük Kütüphanesi
Do:

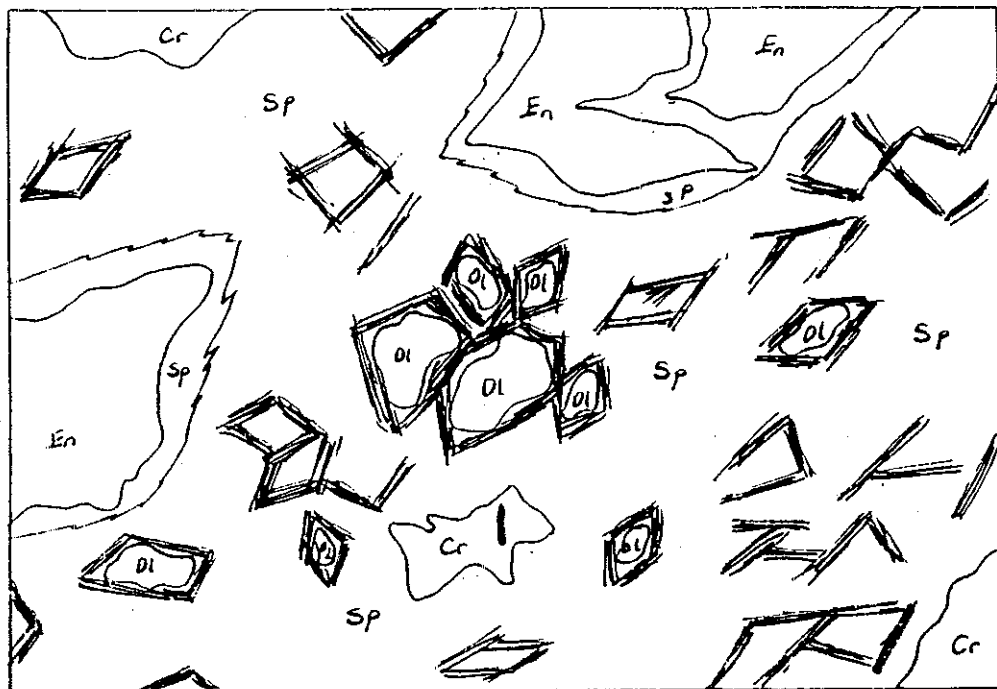


Foto-1: Serpantinleşmeden kalabilmiş olivin (Ol) ve ortopiroksen (En).

Tektonitlerin üst kesimlerinde, mercekler şeklinde dunitik seviyeler yeralır. Dunitler harzburjitle nazaran daha yumuşak bir topografya sunmaktadır. Dunitler dissemine ve ince bantlar halinde kromit içe- rirler ve harzburjiterle geçişlidirler. Taze dunit açık yeşil rengiyle tanınır. Serpantinleşmenin derecesine göre daha koyu yeşil renklere sahip olurlar.

Tektonitler mineralojik bileşimleri farklı çeşitli damar kayaçları tarafından kesilmişlerdir. Bunların bir kısmı, piroksenit ve gabro daykalarıdır. Tektonitleri kesen dayklar içerisinde en yaygın olanı ise soğuma ke- narlı diyabaz daykalarıdır.

Çalışma alanında tabanı izlenemeyen ve oldukça kıvrımlı ve kırıkçı yapıya sahip olan tektonitlerin ka- lınlığını tesbit etmek zordur. Ancak, arazi gözlemle- rine dayanarak tektonitlerin 1500 m. civarında bir ka- lınlığa sahip olduğu söylenebilir.

Kümülatlar (Kyk) : Kümülat terimi ilk kez Wager ve diğerleri (1960) tarafından, kristalleri çökerek birikmiş mağmatik kayaçları belirlemek için kullanılmıştır.

Çalışma alanındaki kümülatların alttaki tektonitlerle olan dokanağı oldukça serpentinize ve tektoniktir. Üstünde ise sarımsı kahve renkli altere volkanitler uyumsuz olarak bulunurlar.

Kümülatlar içerisinde izlenen başlıca kayaç türleri dunit, verlit, klinopiroksenit, tabakalı ve tabaksız gabrolardır. Tektonitler içinde bulunan dunitler serpentinleşme derecesine göre açık yeşil, koyu yeşil renkler alırken, kümülatların tabanındaki dunitler ise açık kahverengimsi, toprağımsı renklere sahiptir. Tektonitlerdeki dunitler ancak çekiçle kırılabilirken, kümülat dunitler elle, parmakla uylanırlar ve toz haline gelebilirler. İçlerinde dissemine (saçınımı) az miktarda kromit izlenmiştir. Hemen hemen tümüyle serpentinleşmişlerdir.

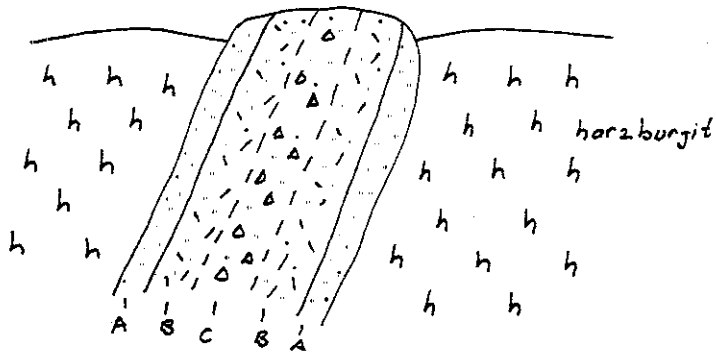
Çalışma alanındaki verlit koyu yeşil, siyahımsı renkte olup, ilk bakışta harzburjiti andırır. Kümülat istifi içerisinde bu özelliğini nedeniyle diğer kayaçlardan kolayca ayrılır. Dikkatli incelendiğinde piroksenlerin farklı renk tonuyla harzburjitlerden kolayca ayrılırlar.

Verlitteki klinopiroksenler yeşilimsi renk tonu sunarlarken, harzburjitlerdeki ortopiroksenler çoğunlukla kahverengi renktedirler. Verlitlerde yüzeyden bakıldığına hiç kromit tanesi görülmekten, harzburjitlerde az da olsa kolayca teşhis edilebilme imkanı vardır. Stratigrafik olarak da dunitlerle gabrolar arasında yer almalarıyla kolayca tanıtan verlitler, yoğun bir şekilde serpentinleşmişlerdir. Siyah koyu yeşili veren tamamen serpentinleşmiş olivinlerdir.

Verlitler, açık yeşilimsi-beyazımsı renklere sahip olan olivinli gabrolara geçmektedirler. Daha üstte doğru ise ardalanmalı olarak normal (tabakasız) gabrolar gelmektedir. Gabrolar çalışma alanında harzburjiterin sarımsı-kızılımsı rengine Karşın beyazımsı renk ve daha yumuşak topografiya sunarlar.

Derinlik ve Damar Kayaçları : Gabro ve diyabazdan oluşan bu kayaçlar, çalışma alanında diğer birimleri kesen dayklar şeklindedir. Kalınlıkları 1/25000 ölçekli haritada gösterilemeyecek kadar ince olmasına rağmen kısmen abartılarak çizilmiştir. Bu dayklar piroksenit, gabro ve en yaygını olan diyabaz dayklarıdır. Özellikle diyabaz ve gabro daykları, hem tektonitleri ve hem de kümülatları kesmektedir. Diyabaz daykları 15 cm'den 15 m'ye kadar kalınlıklar sunarlar. Özellikle dunitlerden oluşan yumuşak sırtlarda bıçak sırtı şeklinde yüzeyden 2-2,5 m. yükseklikte doğal duvarlar meydana getirirler.

Diyabaz daykları yakından incelendiğinde kenarlarında yaklaşık 1.5-2 cm. kalınlığında siyah renkli ve çok çok ince taneli bir soğuma kenarı olduğu gözlenmiştir.



- Tektonitleri kesen soğuma kenarlı diyabaz daykının şematik enine kesiti.
- A. Soğuma kenarı.
- B. Daha kaba taneli ara kısım (diyabazik dokulu).
- C. Kaba taneli iç kısım (Gabroyik dokulu).

KIZILCADAG MELANJI (Kkm)

Çalışma alanındaki ofiyolitli melanj ilk olarak Poisson (1977) tarafından tanımlanmıştır. Peridotitlerle olan dokanağı tektoniktir. Matriksi radyolarit, çamurtaşı, kumtaşısı ve serpentinitten oluşur. Bloklar ise değişik yaş ve litolojideki kireçtaşlarından, yastık lav parçalarından, dunit, harzburjit, gabro, diyabaz, volkanitler, volkanosedimanter kayaçlarla bunların metamorfik bloklarından oluşmaktadır.

Yavanoluk deresi yakınında, Kızlar sıvırısı T. güneybatısında melanj içinde bulunan kireçtaşı bloğu Üst Permiyen yaşı vermiştir. Alt seviyesi bol fosilli, çakıltası ve kumtaşıyla başlar ve üst seviyelere doğru beyaz-gri renkli kireçtaşlarına geçer. Üst Permiyen kireçtaşlarında mevcut mikrofauna;

Verbeekina vebeeki GEINITZ,
Polydiedoxina sp.,
Neoschwagerina cracitulifera SCH.,
Dunbarula sp.,
Climacamnnmina sp.,
Yangcheinia sp.,
Globivalvulina sp.,
Girvanella sp.,
Permocalculus sp., şeklindedir (Karaman, 1987).

Aynı yerde yamacın biraz daha yukarısında gri renkli, görtülü bir başka kireçtaşı bulunmaktadır. Buradan alınan örnekler ise muhtemel olarak Üst Triyas'ın hemen üstü ve Alt Jura aralığında yaş vermiştir. Bu keşimdeki mikrofauna;

Pseudocyclammina sp.,
Ammobaculites sp.,
Duostomidiidae'dir.

Türkmen Tepe'de gözlenen kireçtaşları Jura-Kretase yaşı olup, alt seviyeleri ince radyolarit ve pembe-

gri kireçtaşı ardalanımıyla başlayıp, üste doğru ince-orta tabakalı kırmızı ve gri renkli, yer yer kumlu, konkoidal kırılım yüzeyle kireçtaşlarına geçer. Jura-Kretase (muhtemelen Jura) yaşı veren örnekteki mikrofauna;

Valvulinidae,
Textularidae,
Thaumatoporella sp. (Alg),
Haurania sp. dir (Karaman, 1987).

Melanj içinde metamorfize gabro ve diyabaz bloklarının yanısıra hemen hemen tamamen serpentinleşmiş dunit ve harzburjit blokları da oldukça yaygındır.

VARSAKYAYLA FORMASYONU (E_oV)

İlk defa Poisson (1977) tarafından tanımlanan bu formasyon, tektonitler üzerinde uyumsuz olarak bulunmaktadır. Arazide görünür kalınlığı yaklaşık 85 m. olup, alttan üste doğru şu litolojik özellikleri gösterir:

Değişik boyutlu çakıllar, özellikle makrofosiller (Echinid, Ostrea, Pelesipod, mercan) ve mikrofosillerden (Nummulit, Assilino, Alveolina, vs.) oluşan intraformasyonel özelliğe transgressif çakıltası; sarımsı-gri renkli, bol miktarda iri, benthonik foraminifer ve Pelesipod kavıkları içeren kireçtaşı; üst seviyeleri hafif kristalize ve grimsi renkli ve yine bol miktarda benthonik foraminifer ve Pelesipod kavkı parçalı olan ince taneli kumlu kireçtaşı; sarımsı pembe renkli ve bol fosilli, ince-orta tabakalı, kaba taneli kumlu kireçtaşı; ince ve kaba taneli kumlu kireçtaşı ardalanımları; ince taneli kumlu kireçtaşı; ince taneli, kil miktari fazla kumlu kireçtaşı; oldukça iri ve iyi yuvarlanmış, gevşek malzemeye tutturulmuş, gri, siyah renkli kireçtaşları, ofiyolit (gabro, diyabaz, serpentinit) çakıllarından oluşan çakıltası; daha küçük boyutta çakıllardan oluşan ince çakıltası; gevsek çimentolu kaba çakıltası seviyeleridir.

Aktaş Tepe'de tesbit edilmiş olan bu litolojik seviyelerdeki mikrofauna topluluğu şu şekildedir;

I. Üst Lütesiyen Fauna

Nummulites cf. millecaput Boubee,
Orbitalides complanatus Lamarck,
Fabiania Cassis (Oppenheim),
Gypsina morionensis Hanzawa
Nummulites sp.,
Alveolina sp.,
Asterigerina sp.,
Operculina sp.,
Discocyclina sp.,
Anomalina sp.,
Gypsina sp.,
Textularidae,
Pelesipod kavkı parçaları,
Alg,
Bryozoa kavkı parçaları,
Echinid diken,

II. Priaboniyen Fauna

Nummulites sp.,
Discocyclina sp.,
Chapmanina sp.,
Asterigerina sp.,
Anomalina sp.,
Asterocyclus sp.,
Operculina sp.,
Alveolina sp.,
Globigerina sp.,
Gypsina sp.,
Orbitolides sp.,
Rotaliididae,
Textularidae,
Bryozoa

Ofiyolitler üzerinde uyumsuz olarak bulunan

Varsakyayla formasyonu Eosen sonrası hareketlerle ofiyolitlerin sırtında taşınarak bölgedeki yerine ulaşmıştır.

GENÇ OTOKTON BİRİMLER

Genç otokton birimler Plio-Kuvaterner yaşlı karsal Niyazlar formasyonu, yamaç molozu ve alüvyondan oluşmaktadır.

NİYAZLAR FORMASYONU (PlQ)

Sarımsı, pembe renkli çakıltaşı, kumtaşısı ve kilit taşı ardalanımından oluşan istif, ofiyolitler üzerinde uyumsuz olarak bulunmaktadır. Yaklaşık 75 m. kalınlık sunan istifte çakıltaşları değişik tipte kireçtaşısı ve bol miktarda ofiyolitten oluşmuş ve gevşek, yer yer sıkı kumlu, killi malzemeyle tutturulmuştur. Üst seviyeleri gabro ve diyabaz çakıl ve bloklarının oluşturduğu moloz birikintileriyle örtülmüştür.

YAMAÇ MOLOZU VE ALÜVYON (Qym-Qal)

Çalışma alanında yamaç molozları tutturulmuş ve tutturulmamış birikimler şeklinde gözlenmiştir. Ofiyolitlerin hakim olduğu çakıl ve blokların yanısıra az miktarda kireçtaşısı, çakıl ve blokları da izlenmektedir.

Alüvyon ise akarsuların meydana getirdiği geniş düzliklerde ve yaylalardaki düzliklerde birikmiş, tutturulmamış kumdan ve kilden oluşmaktadır.

Her iki birim de Kuvaterner yaşlıdır.

2. YAPISAL JEOLOJİ

İnceleme alanı Törnidler tektonik birliği içerisinde olup, Alp orojenezi ile gelişmiştir. Tetros silsilisinin bir bölümünü içeren sahada birbirini izleyen dağ oluşumu hareketleri gerçekleşmiştir, (Bulumental, 1963).

Ofiyolitlerin bölgeye Eosen sonrası tektonik hareketlerle taşınmasından sonra bölgede gelişen doğu-batı yönlü gerilme kuvvetlerinin etkisiyle Kuzey-Güney doğrultulu normal faylar gelişmiştir. Yine aynı kuvvetlerin etkisiyle Doğu-Batı doğrultulu doğrultu atımlı fay mekanizmasının geliştiği izlenmiştir. (Deformasyon ellipsoidine göre bu görüş ters düşmektedir. Buna göre, fayın Doğu-Batı doğrultulu değil, Kuzeybatı ve Kuzeydoğu doğrultulu doğrultu atımlı fay olması gereklidir.) Bu faylanmalar, karasal özellikli Plio-Kuvaterner çakıltashlarından oluşan örtüyü etkilememiştir. Çalışma alanındaki en önemli fay, Tinaz Tepe güneyindeki Kuzey-Güney uzunlu, 4-5 km. mesafede izlenebilen faydır (Karaman, 1987).

Tektonitlerdeki magmatik bantlaşmanın doğrultusu yaklaşık Kuzey-Güney ofiyolitleri kesen izole gabro ve diyabaz dayklarıyla piroksenit daykalarının doğrultusu ise yine yaklaşık Kuzey-Güney şeklindedir (Karaman, 1987).

Çalışma alanında, en alta bulunan Yeşilova ofiyolitini oluşturan tektonitler ve kümülatlar arasındaki dokanak tektonik ve oldukça serpentinizedir. Yine Yeşilova ofiyoliti ile Kızılçadağ melanji arasındaki dokanak da tektonik olup, Kızılçadağ melanji, üst manto kökenli ofiyolitik kayaçlar ile volkanik, metamorfik ve tortul

kökenli kayaçların karışmasıyla oluşmuştur. Bundan başka, Varsakyayla formasyonu Kızılçadağ melanji üzeri-
ne, Niyazlar formasyonu da Varsakyayla formasyonu üze-
rine uyumsuz olarak oturmaktadır.

3. OFİYOLİTLER OLUŞUMU VE YERLEŞİMİ

Okyanusal kabuk ve üst mantonun parçaları olarak düşünülen ofiyolitler, mafik ve ultramafik kayaçların özel bir topluluğudur. Ofiyolit karmaşıkların büyük bir çoğunuğu ultramafik kayaçlardan oluşmaktadır. Bu ultramafik kayaçlar Dickey (1975) tarafından dokusal olarak kümülat ve tektonitler olmak üzere iki kısma ayrılmışlardır. Kümülatlar genel olarak dunit, verlit ve piroksenitlerden oluşmakta ve gabroyik kümülatlarla beraber bulunmaktadır. Tektonitler ise esas olarak, dunit ve harzburjitlerden, tali olarak da lerzolit ve piroksenitlerden oluşmaktadır.

Okyanus ortası sırtları ve/veya adayayı gerisi basenlerde oluşan bu ofiyolitler okyanusal kabuğun parçaları olarak taşınmakta ve levha çarpışmaları ile kıta kabuğu üzerine yerleşmektedirler. Ofiyolitlere bağlı peridotit komplekslerin büyük bir çoğunuğunun yankayaçlarla olan dokanlığı tektonik olup, herhangi bir tepkime zonu bulunmamaktadır. Bu nedenle de, Irvine (1967) ve daha önceki yazarlarca, peridotitin intrüzyon sırasında soğuk olduğu şeklinde yorumlanmıştır.

İdeal bir ofiyolit bireliği en alttan başlamak üzere aşağıda verilen birimlerden oluşmaktadır:

1- Ultramafik Karmaşık : Değişen oranlarda metamorfik ve tektonik dokulu harzburjit, lerzolit ve dunitten oluşmaktadır.

2- Gabroyik Karmaşık : Genel olarak altlarındaki ultramafik karmaşiktan daha az deform olmuş gabroyik bileşimli kümülatlardan oluşmaktadır. Bu karmaşık içерisinde yer yer peridotitler ve piroksenit kümülatlarına da rastlanılmaktadır.

3- Mafik Dayk Karmaşığı : Altlarında gabroyik karmaşıkla tedrici geçişler gösteren, esas olarak diyabazik bileşimli dayklardan oluşmaktadır.

4- Mafik Volkanik Karmaşık : Yastık (Pillow) lav şekilli mafik volkanik kayaçlardan oluşmaktadır.

Bu birimlerle bulunan diğer kayaç türleri ise şunlardır:

1. Genellikle dunit ile çevrili podiform kromit kütleleri,
2. Sodik, felsik, intrüzif ve ekstrüzif kayaçlar,
3. Örtü sedimanları: Genellikle radyolaryalı çörtler, ince şeyl aratabakaları, az miktarda kireçtaşları.

İnceleme alanında ofiyolitler tabandan tavana tam bir istif sunmamaktadır. Yani tavanda eksiklik göze çarpar. Aşağıdan yukarıya doğru tektonit, kümülat, gabbro şeklinde bir istif göstermektedir. Alttaki tektonitler genellikle harzburjit ve dunitten oluşmaktadır (Karaman, 1987).

II. YEŞİLOVA (BURDUR) YÖRESİ KROMİT CEVHERLEŞMELERİNİN GENEL ÖZELLİKLERİ

Çalışma alanında pek çok sayıda kromit zuhuru bulunmakta olup, bunlardan ancak 5 tanesi çalışmanın konusunu oluşturmaktadır. Yörede incelenen kromit cevherleri başlıca masif ve benekli olup, düzensiz mercekler şeklinde görülmektedir. Kocayanık ve Yavşanlı olmak üzere başlıca iki kromit bölgesi incelenmiştir.

Kocayanık bölgesi ise kendi arasında, Kocayanık 1, Kocayanık 2, Kocayanık 3 ve Kocayanık 4 olarak ayrı ayrı ele alınmıştır, (Ek-4). Kocayanık yataklarının bulunduğu bölge Yeşilova'dan yaklaşık 16 km. uzakta bulunmaktadır. Çalışma alanındaki kromitler harzburjitler içerisinde olup, dunit kromiti kılıf şeklinde sarmaktadır.

Kocayanık ocağının geneli de peridotit tarafından çevrilmiş olup, peridotit çoğunlukla çatlıklar boyunca serpantinize olmuş ve kaba bloklar halinde parçalanmıştır. Bundan başka 1-10 cm. kalınlığında piroksenit damarlari da yörede bulunan diğer oluşuklardır. Buradan 8.000 tondan fazla kromitin sevkedilmiş olduğu bildirilmiştir (Sözlü görüşme).

1. YATAKLARIN DAĞILIMI VE YATAKLANMA ŞEKİLLERİ

1.1. Kocayanık 1 Ocağı : Yankayaçlar genellikle yoğun serpantinleşmiştir. Serpantinleşmeden önceki ilksel kayacın mikroskop çalışmalarından harzburjit olduğu anlaşılmaktadır.

Bu ocak ilk kez 1986'lı yıllarda galeri açılarak işletilmiş olup, galeri 2.0 m. genişliğinde ve 2.0 m. yüksekliğindedir. Buradaki cevher düzensiz mercekler halindedir. Mercek boyutları saptanabildiği kadariyla

30x15 cm. ile 125x30 cm. arasında değişmektedir.

Üretilmiş olan cevher masif ve benekli olup, tenörleri %35.50 Cr₂O₃ ve %41.60 Cr₂O₃ olarak bulunmuştur.

Kromit N35°E doğrultusunda uzanmakta olup, yaklaşık açılan galeri doğrultusundadır ve eğimi ise 30°SE'dur. Şu anda bu galeride üretim yapılmamaktadır (Foto-2).

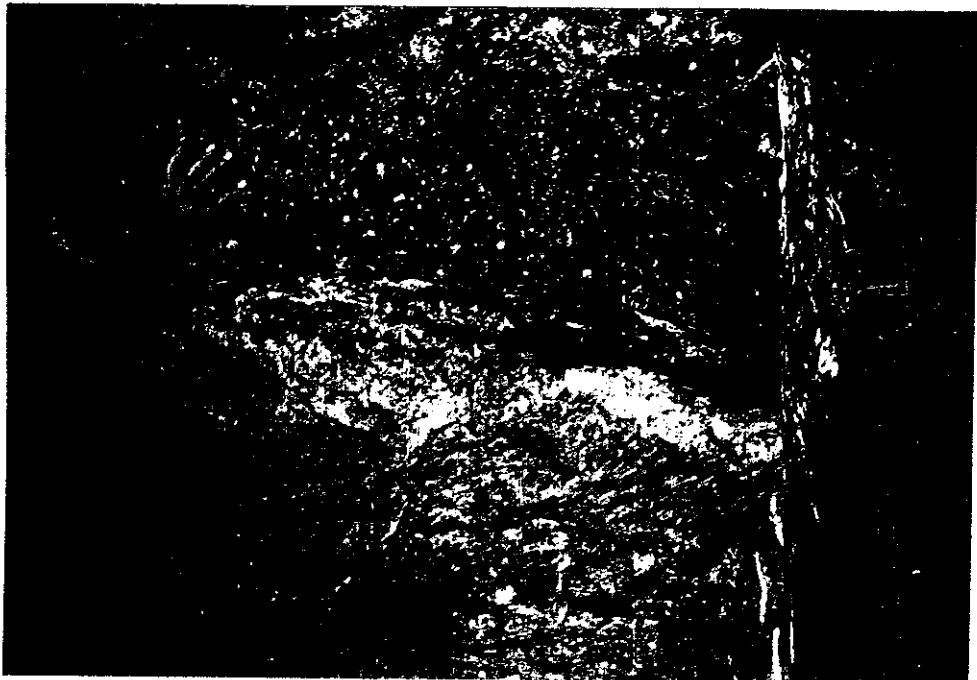


Foto-2: Kocayanık-1 Galeri içindeki bir kromit merceği (Cr).

1.2. Kocayanık 2 Ocağı : Yankayaçlarının özellikleri Kocayanık 1'dekine benzemektedir. Bu ocak da yine 1986'lı yıllarda galeri açılarak işletilmiş olup, halen arama çalışmaları için kullanılmaktadır.

Galeri genişliği 2.5 m., yüksekliği 2.0 m'dir. Galeri içinde açılan desandri fay zonunda bulunmaktadır ve ancak, burada kromit mercekleri görülebilmektedir (Ek-6).

Cevher düzensiz, pek çok mercekler halinde ve yer yer makaslama kuvveti etkisiyle budinaj yapısı oluşmuştur. Buradaki cevher masif ve benekli olup, %28.77-45.30 Cr₂O₃ tenörlüdür. Mercek boyutları 35x18 cm. ile 100x36 cm. arasında değişmektedir (Foto 3-4).

Desandri içindeki kromit mercekleri sadece sağ duvarda gözlenmektedir. Kromit N30W doğrultusunda uzanmakta ve eğimi 30°SW'dır.

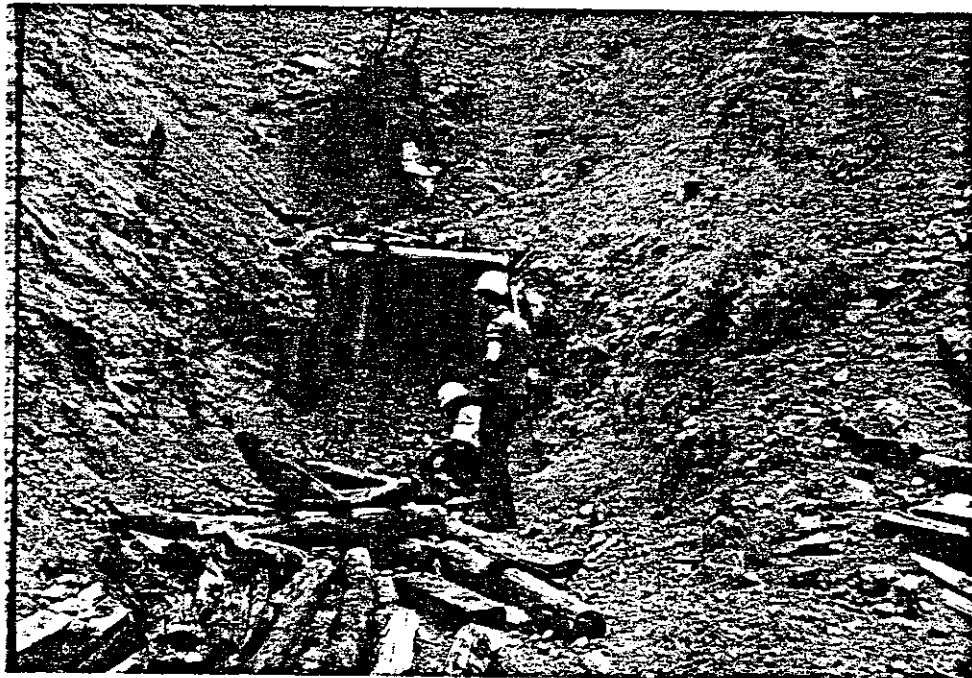


Foto-3: Kocayanık-2 Galeri girişi.



Foto-4: Kocayanık-2 Galeri (desandri) içindeki bir kromit merceği (Cr).

1.3. Kocayanık-3 Ocağı : Bu kesimde yankayaç, fay zonunda olduğundan yoğun serpentinleşmiş olup, ilksel kayacı tanımağta oldukça güçlük çekilirse de harzburjit olduğu, yapılan mikroskobik incelemeler sonucunda belirlenmiştir.

Yörede kromit merceklerinin yüzeyde görülebildiği tek yer olan bu ocak açık olarak işletilmekteydi. Bu çalışma sonuna doğru işletmedeki kromit tamamen alınmıştır.

Yarma genişliği 7.0 m., yüksekliği 5.0 m'dir, (Ek-7). Yaklaşık boyutları 2.0x1.0 m. ile 3.0x1.50 m. arasında değişen kromit mercekleri Kocayanık mevkisindeki merceklerin en büyüğünü oluşturmaktaydı. Bu kesimdeki kromit merceklerinin konumu N35W doğrultulu ve 25°SE'ya eğimli olup, yaklaşık tenörü %29.20-43.35 Cr₂O₃ arasında değişmektedir (Foto-5).



Foto-5: Kocayanık-3 kromit alınan yarma.

1.4. Kocayanık-4 Ocağı : Bu ocakta yankayaç Kocayanık 3'e göre çok daha az serpentinleşmiş olup, ilksel kayacın harzburjit olduğu, minerallerin bozuşmadan kalabilmesiyle çok daha rahat tanımlanmıştır.

Bölgede bulunan kromit cevherleşmeleri azaldığından, Kocayanık 4'de kromit aranması için galeri sürülmüştür. Bu galeri ağzında bulunan kuyudan kromitin doğrultusu tahmin edilerek, bu tahmin edilen doğrultuya dik olarak galeri açılmıştır. Galeri içinde de yaklaşık aynı doğrultuda olduğu görülmüşce daha aşağıda da cevheri yakalayabilme umuduyla yeni bir galeri açma düşüncesi uyanmıştır (Ek-5).

Galeri içinde rastlanan kromitler yine düzensiz pek çok mercekler halinde olup, yaklaşık boyutları 35x20 cm. ile 100x40 cm. arasındadır. Kromit N10°E doğrultulu ve 67°SE eğimlidir. Yaklaşık tenörü ise %35.11 Cr₂O₃'tür, (Foto-6 ve 7).

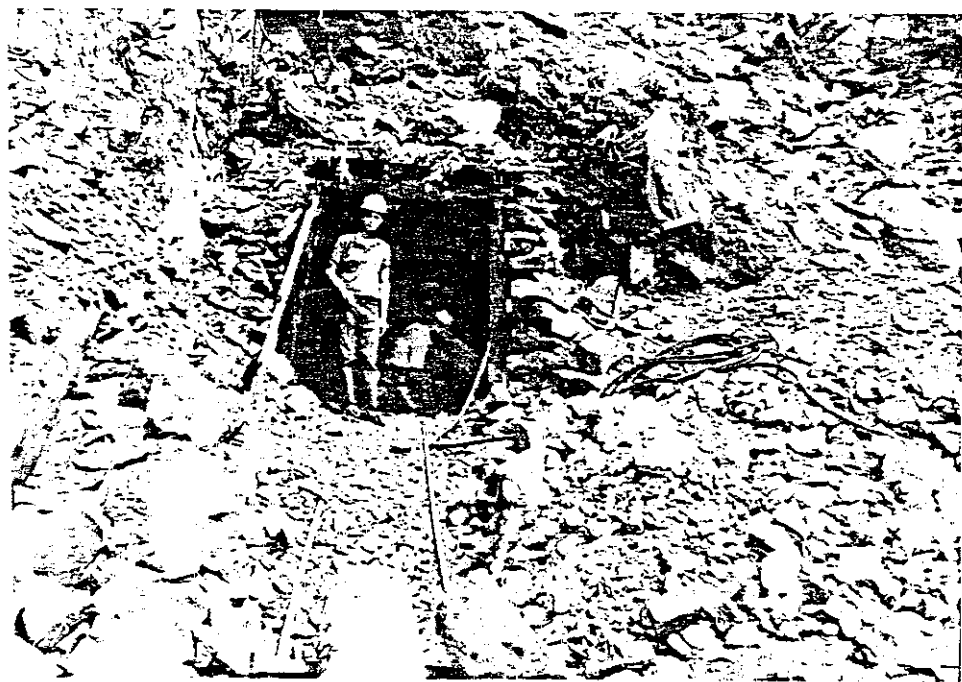


Foto-6: Kocayanık-4 galeri girişi.



Foto-7: Kocayanık-4 galeri içindeki bir kromit
merceği (Cr).

1.5. Yavşanlı Yatakları : Yavşanlı kromit yatakları Yeşilova'dan yaklaşık 13 km. uzaktadır. Bölgedeki yan-kayaçların tümü kısmen ve esas itibariyle yalnız çat-laklar ve faylar üzerinde serpentinleşmiş peridotitten oluşmaktadır. Peridotit bir yerde yine birkaç cm. kalınlığında piroksenit damarları tarafından kesilmek-tedir. Kromit N40E doğrultulu ve 20°SE eğimlidir.

1.5.1. Yavşanlı 1, 2 No'lu Ocağı : Yankayaç burada da genellikle serpentinleşmiş olup, ilksel kayacın harz-burjıt olduğu mikroskopik incelemeler sonucu belirlen-miştir.

İlk kez 1986'lı yıllarda galeri ve kuyu açılarak işletilmiş ve şu anda işletilmeye ileride çalışılmak üzere son verilmiştir. Galeri genişliği 2.50 m., yüksekliği 2.0 m. olup, buradaki kromitlerde yine diğer ocak-larda olduğu gibi düzensiz, mercek şekilli ve saptana-bildiği kadariyla mercek boyutları 25x10 cm. ile 60x30 cm. arasında değişmektedir.

Boyutları 4.0x3.0 m. olan kuyu içinde bulunan kromit küteleri iki yerde düzensiz mercek şeklinde gö-rülmekte olup, yaklaşık boyutları 150x40 cm. ile 200x50 cm. arasındadır, (Foto-8).

2 numaralı Ocak, 1 numaralı ocağın yaklaşık 100 m. kadar Kuzeybatısındadır. Bu ocak galeri şeklinde işletilmiş olup, bu galeri tamamen fay zonunda açılmıştır. Galeri genişliği 3.0 m, yüksekliği 2.50 m'dir.

Yavşanlı 1 ve 2 numaralı ocaklarında üretilmiş olan cevher masif ve benekli olup, 1 no'lu ocak tenörü %22.50-44.37 Cr₂O₃; 2 no'lu ocak tenörü %28.55-30.85 Cr₂O₃ arasında değişmektedir.



Foto-8: Yavşanlı Kuyusundaki kromit merceği (Cr).

2. KROMİTLERİN OLUŞUMU

Çalışma alanında harzburjitler içerisinde yer alan kromit kütleleri Alpin tipi kromit yataklarının tipik özelliklerini sergiler. Bu özellikler, kromit kütle boyutlarının küçük, düzensiz şekilli olması ve deformasyona uğramaları gibi özelliklerdir (Engin, 1983). Bundan başka, Alpin tipi kromitler kararsız tектonik ortamlarda oluştugundan farklı dokusal özellik gösterir. Kromit tanecikleri küçük yuvarlak kristaller halinde olmakla birlikte leopar yapısı sunanlar da vardır. Bazen de kromit ve serpantinin konsantrik bir biçimde tekrarlanması sonucu orbiküler yapı ortaya çıkar, zonlu yapılar da görülür.

Krom yataklarının kökeni ve bağlı olduğu kayaçlar kesin olarak bilinmekte, magmatik kökenli olduğu ve hatta mantodan kaynaklandığı tartışmasız kabul edilmektedir.

Bütün kromit yatakları bazik ve ultrabazik kayaçlar içinde bulunur. Bunlardan çoğunlukla serpentinleşmiş olarak görülen peridotitler esas kayaçlarıdır. Peridotitlerden de en çok harzburjit görülür. Dunit daha çok cevheri saran bir kuşak biçimindedir. Serpentinleşmenin ileri olduğu hallerde ilksel kayacı tanımlamakta güçlük çekilirse de, dunitin serpentinlerinin yüzeyde açık sarı bir pas bırakmalarına karşılık, harzburjitten türeyen serpentinlerin kırmızı turuncu bir renk vermeyle ayrılır. Bu sonuncu demirli lateritleşmeye doğru bir gelişmeyi açıklar.

Merceksi şekiller Dickey (1975) e göre iraksayan levha sınırları boyunca oluşan uzun ve dar mağma ceplerini yansımaktadır. Yatakların büyük bir yoğunluğu dunit tarafından bir kılıf gibi sarılmış biçimde bulunmaktadır. Bu dunitik kılıf bir kaç santimetreden metrelere kadar değişen kalınlıklara sahiptir.

Alpin yatakların stratiform tiplerden ayrılmamasında önemli bir kistas olan nodüler dokunun oluşumu çeşitli yazarlarca farklı yorumlanmaktadır. Borchert (1960) a göre, kromit kristallerinin eğik bir tabana ($>50^{\circ}$) çökelmesi ve yerçekimi ile magma üyesinin aşağılarına doğru yuvarlanması bu dokuyu oluşturmaktadır. Masif, benekli ve saçılımış cevherlerde benzer şekilde tabanın eğim açısına ve bu eğik ortamda yerlerine bağlı olarak oluşmaktadır. Buna karşın Dickey (1975) ise bu oluşuk için hareketli bir ortamın gerekliliğini vurgulamaktadır. Buna göre, bu doku turbülseli bir magma segregasyonu zonunda, kromit kristallerinin yuvarlanması ve dönme hareketleri esnasında bir araya gelerek, kümelenmeleri, hareket devam ettikçe etraflarındaki kromit kristallerini çeperlerine toplayarak, büyümelerinden meydana gelmiştir.

Alpin tip podiform kromit kütlelerinin oluşumu üzerine görüşler; okyanusal yayılım ve magma türeyisi üzerine görüşlerimizin gelişimi ile giderek gelişmektedir.

Jackson (1961) tarafından tanımlanan, stilwater stratiform kompleksini oluşturan kümülatik süreçlerin Alpin tipi ofiolitlere ve jeosenkinal teorisine uyarlayan Thayer (1960), Podiform kromit kütlelerinin üst mantonun kısmi ergimesi ile oluşan magmanın alt kabukta veya üst mantoda yer alan magma odasında kristalizasyon farklılaşması ürünü kromit kristallerinin kümülatik süreçler sonucu magma odası tabanında birikmeleri ile oluştuğunu ileri sürmüştür. Bunu takip eden evrede alt kabukta oluşan kromit katmanlarının jeosenklinallerin kıvrımlanması sürecinde kromit katmanlarının parçalandığı ve podiform kütleler şeklinde yeniden yerlestiklerini savunmuştur. Yeniden yerleşim sürecinde silikatik minerallerin yeniden kristallendiğini, ikincil bantlaşmanın olduğunu, kromit tanelerinin ezildiğini, parçalandığını savunmuştur, (Thayer, 1964).

3. KROMİTLERİN EKONOMİK ÖNEMLERİ

Kromitler bileşimine giren Al, Fe, Mg oranlarına bağlı olarak değişik kullanım alanlarına sahiptir (Tablo-1).

Yeşilova kromitleri metalurjide kullanılmak üzere üretilmektedir. Ancak bazılarının tenörleri düşük olduğundan piyasaya uygun değildir. Bu nedenle bunların zenginleştirilmesi gerekmektedir. Zenginleştirildiği taktirde metalurjik kromit özelliklerine sahip olacaktır. Diğer kullanım alanları için uygun değildir. Çünkü; kimya endüstrisi için, Cr/Fe oranı 1.5'ten fazla; refrakter endüstrisi için Al oranı %20'den fazla, SiO_2 oranı %6'dan az değildir.

Tablo-1: Kromitin Kullanım Alanları (ARIÖĞÜLÜ, E., ve Diğerleri, 1967)

Kromit : • FeO, Cr ₂ O ₃ teorik formülü		• Yükselik ıslıya dirençli
• Kimyasal yönünden nötr		• Asit ve Bazigę dirençli
• Erçime noktası 1875°C		
Kullanım Alanı	Tüketim oranı	Kazandırıldıği özellikler
Metalurji (Demir-Çelik End.)	%76	<ul style="list-style-type: none"> • Kirilmaya • Darbeye • Aşınmaya • Paslanmaya • Karslı çelik üretimi
Kimya Endüstrisi	%11	<ul style="list-style-type: none"> • Sodyum bikromat • Sodyum kromat • Potasyum kromat • Kromiyasal maddeler • İnce toz cevher üretilmesi
Refrakter Endüstrisi	%13	<ul style="list-style-type: none"> • Refrakter tuğla • Refrakter suva
		<ul style="list-style-type: none"> • Cr₂O₃ : %48 min. • Cr/Fe : 3/1 • Sert-parça cevher • Cr₂O₃ : %40-46 • Cr/Fe : 1.5/1 • İnce toz cevher
		<ul style="list-style-type: none"> • SiO₂ < %6

III. YEŞİLOVA KROMİTLERİNİN MİNERALOJİK ÖZELLİKLERİ

1. POLARİZAN MİKROSKOPTA İNCELENMESİ

Çalışma alanımızda bulunan kromitler polarizan mikroskopta incelendiğinde, kromit taneleri öz-yarı öz şekilli, kataklazmaya uğramış olduğu görülmüştür. Kataklastik parçaların araları ve tane etrafları serpantin mineralleri ile doldurulmuş, ayrıca bazı kromit taneleri etrafında manyetitleşme görülmüştür. Gang mineralleri olarak da serpantinden başka, kromit taneleri etrafında ve çatlakları arasında olivin, klorit, kemererit, çok az da kalsite rastlanmıştır.

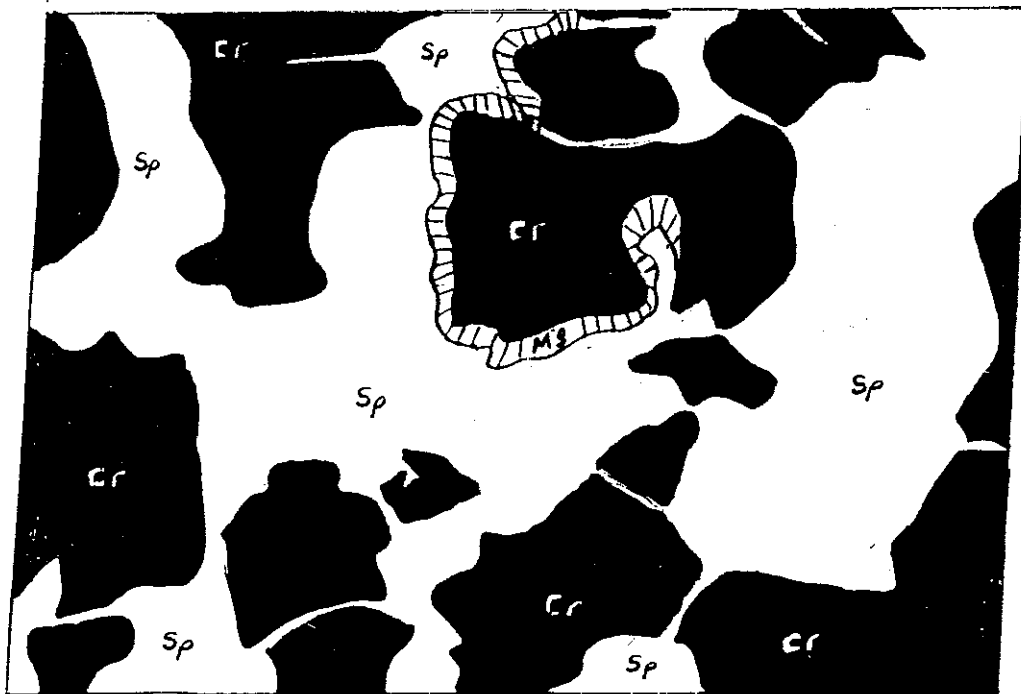


Foto-9: Öz-yarı öz şekilli kromit (Cr), aralarını doluran serpantin (sp) ve kromit tane etrafındaki manyetitleşme (mg) (Kocayanık-1 nolu ocak).



Foto-10: Kataklazmaya uğramış kromit (Cr) ve araları doldurulan serpantin (sp) (Kocayanık 2 no'lu oçak).



Foto-11: Masif kromit (Cr) içinde çatlak ve araları doldurulan serpantin (sp) (Yavşanlı oçak).

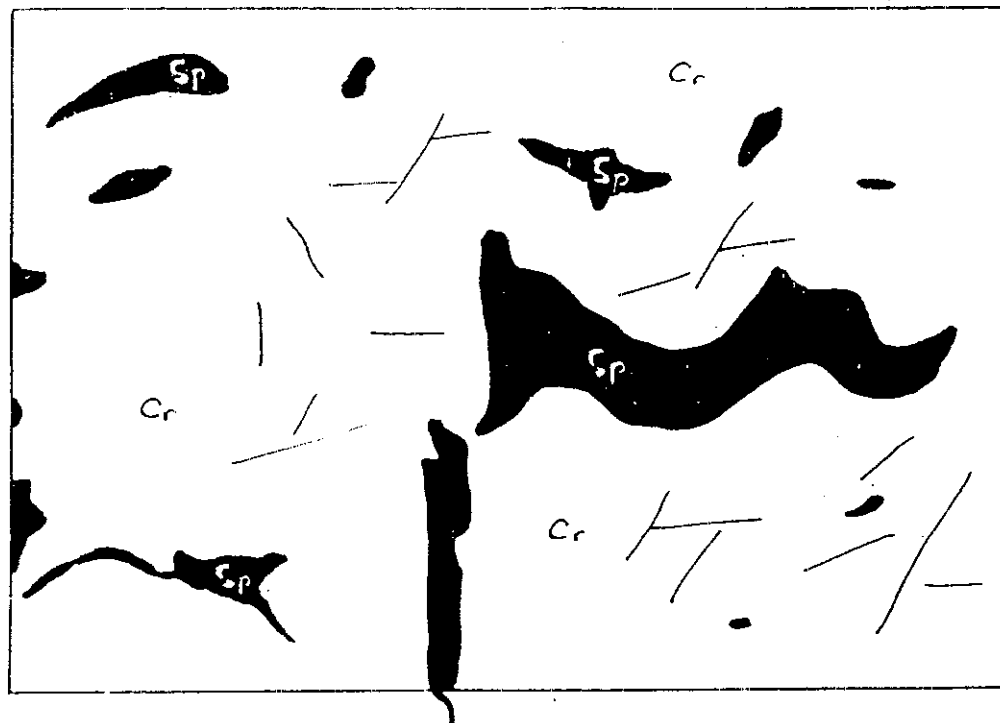


Foto-12: Kataklazmaya uğramış masif kromit (Cr)
(Yavşanlı ocak).



Foto-13: Kataklazmaya uğramış kromit (Cr)'in çatılar
ve taneleri arasını dolduran serpentin (sp).
(Kocayanık 3 nolu ocak).

2. KROMİTLERİN MADEN MİKROSKOBUNDA İNCELENMESİ

Yeşilova (Burdur) kromitleri parlak kesit yapıldıktan sonra maden mikroskobunda incelenerek, cevher-yankayaç ilişkisi, cevher dokusu ve parajenezi saptanmaya çalışılmıştır. Ayrıca kromitlerin bu incelemeler sonucu, G.C.Amstunz (1960)'un Tablo-4'de verilen geometrik sınıflamasına göre, 1a ve 2a tipi tane yapısına sahip olduğu tesbit edilmiştir.

Kocayanık 1 no'lu Ocak

Parlatma No: 7-8

Cevher minerali : Kromit

Gang mineralleri: Serpantin

Numune ileri derecede kataklazmaya uğramış kromitler içermektedir. Öz-yarı öz şekilli kromit kristallerinin kataklastik çatlaklarını ve aralarını gang minerali olarak gözlenen serpantin tamamen doldurmaktadır (Foto-14 ve 15).



Foto-14: Kataklastik kromit (Cr) tanelerinin çatlaklarını gang (gn) doldurmuştur.



Foto-15: Kataklazmaya uğramış kromit (Cr) çatlakları serpantin (sp) ile doldurulmuş.

Kocayanık 2 No'lu Ocak

Parlatma No : 9-10

Cevher minerali : Kromit

Gang mineralalleri: Serpantin

Eser mineralller : Manyetit, heslavodit

Kromit iri taneli, öz-yarı öz şekilli, kataklazmaya uğramıştır. Kromit kataklastik çatlakları ve kenarları boyunca manyetite dönüşmüştür (Foto-16). Numunede ayrıca serpantin içerisindeki kromitler arasında çok ufak (50 mikron) tanecikler halinde heslavodit de (Ni_3S_2) izlenmektedir.

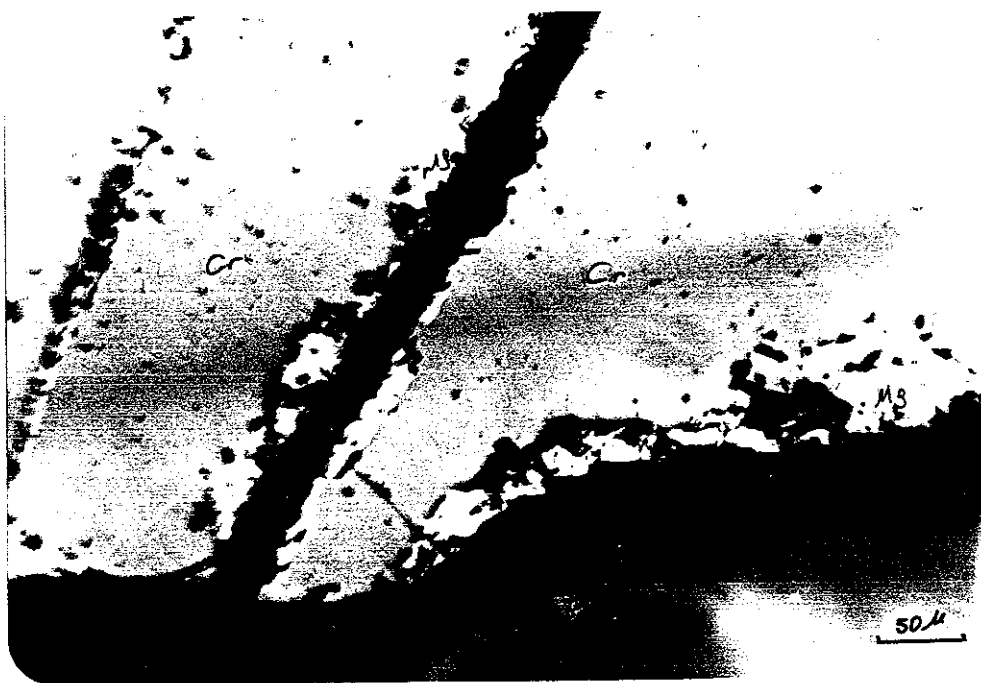


Foto-16: Kataklazmaya uğramış kromit (Cr) kırık ve kenarları boyunca manyetite (mg) dönüşmüştür.

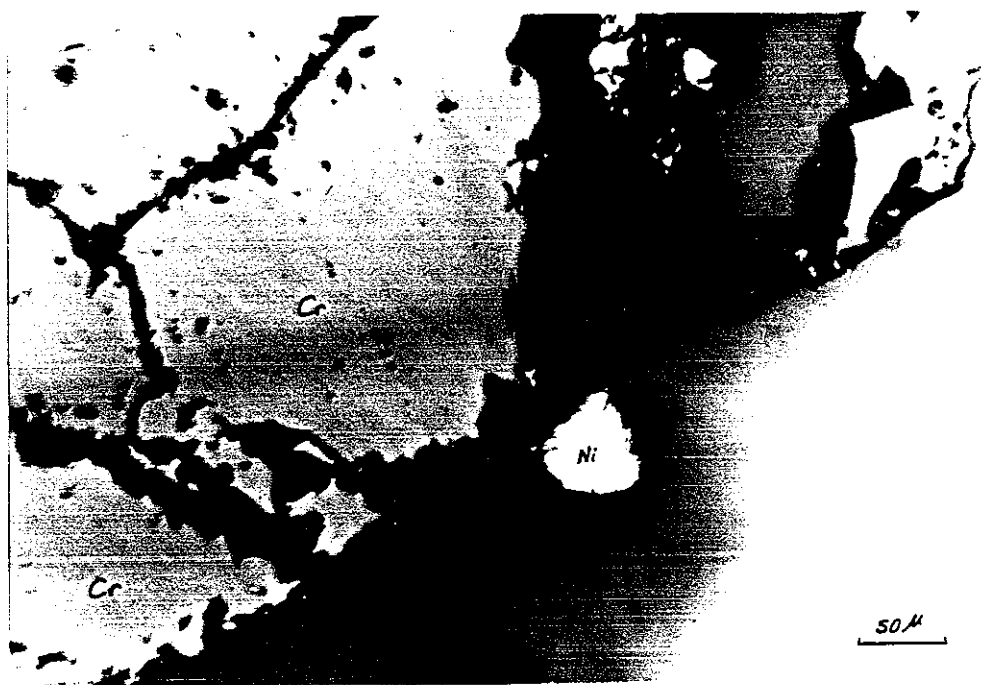


Foto-17: Kataklazmaya uğramış kromit (Cr) ve heslavit (Ni).

Kocayanık 3 No'lu Ocak

Parlatma No : 2

Cevher minerali : Kromit

Gang mineralleri: Serpantin, krom-spinel

Eser mineraller : Manyetit

Serpantin içindeki kromitler kenarları boyunca krom-spinelle ve manyetite dönüşmüştür (Foto-18 ve 19).

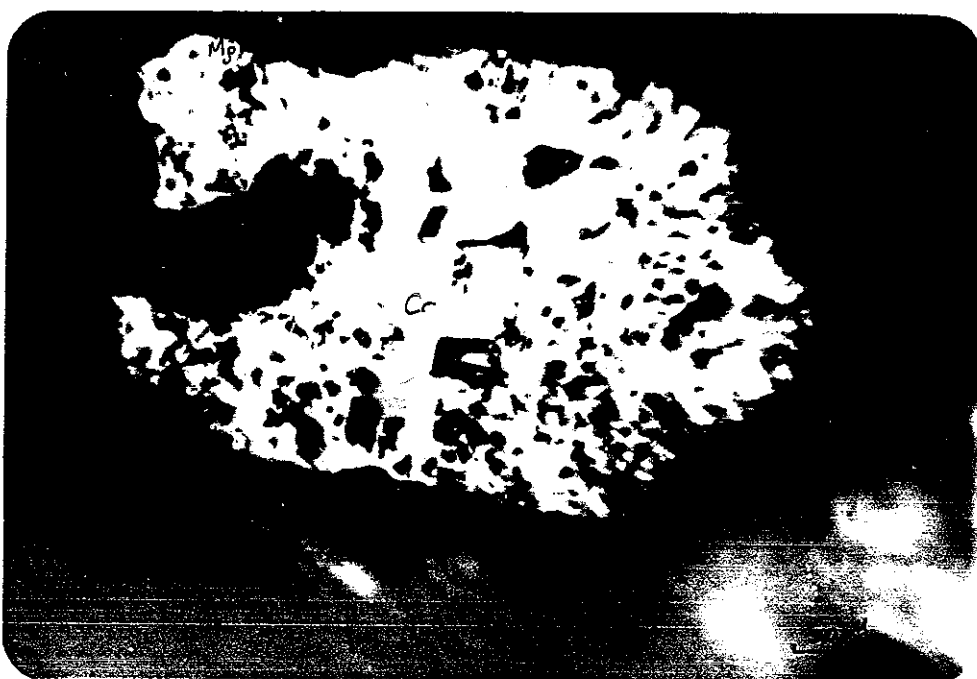


Foto-18: Kromit (Cr) kenarları boyunca krom-spinel ve manyetite (mg) dönüşmüştür.

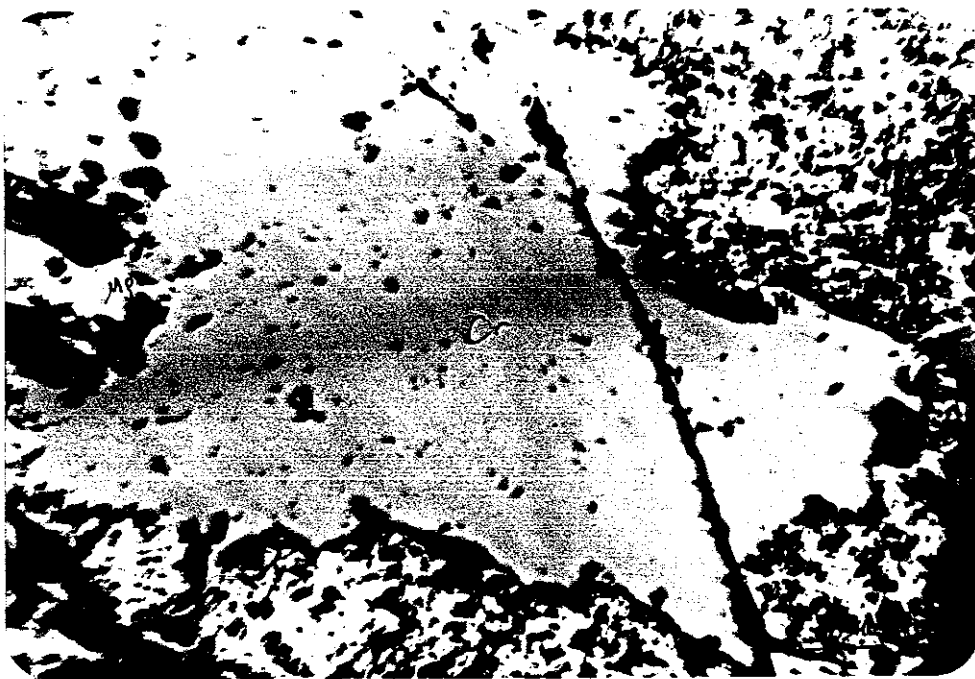


Foto-19: Kataklazmaya uğramış kromit (Cr) kenarları boyunca krom-spinel ve manyetite (mg) dönüşümü.

Kocayanık 3 No'lu Ocak

Parlatma No : 4

Cevher Minerali : Kromit

Gang mineralleri: Krom-klorit, serpantin

Numune fay zonunda bulunması nedeniyle ileri derecede kataklazmaya uğramıştır. Gang minerali olarak gözlenen krom-klorit ve serpantin, kromitlerin kataklastik çatlaklarını ve aralarını tamamen doldurmaktadır (Foto-20 ve 21).

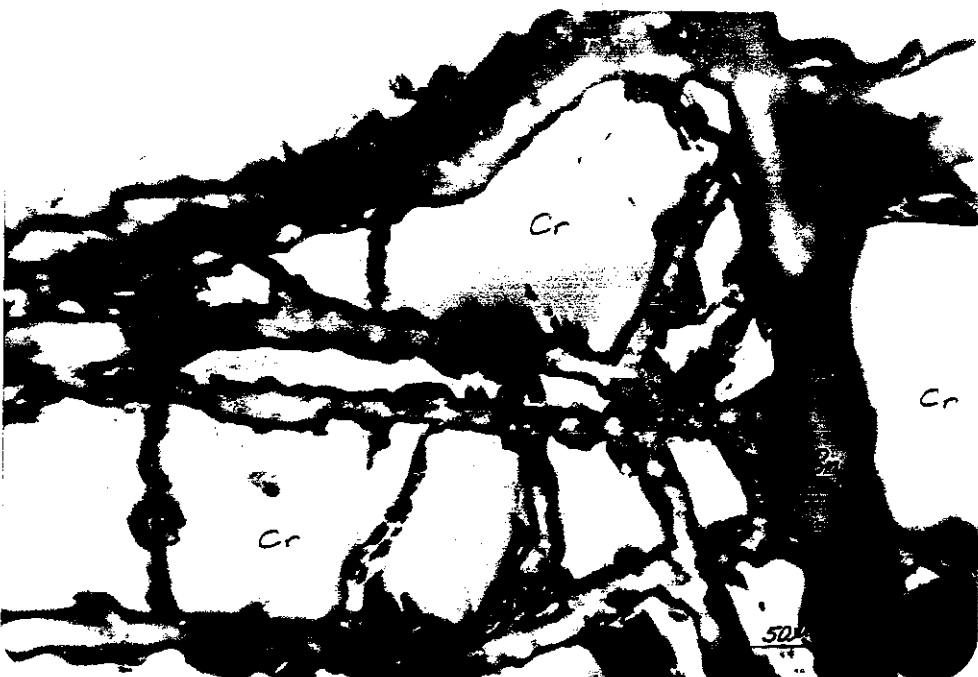


Foto-20: İleri derecede kataklazmaya uğramış kromit kristalleri (Cr) araları krom klorit ve serpantin dolgulu (gn).

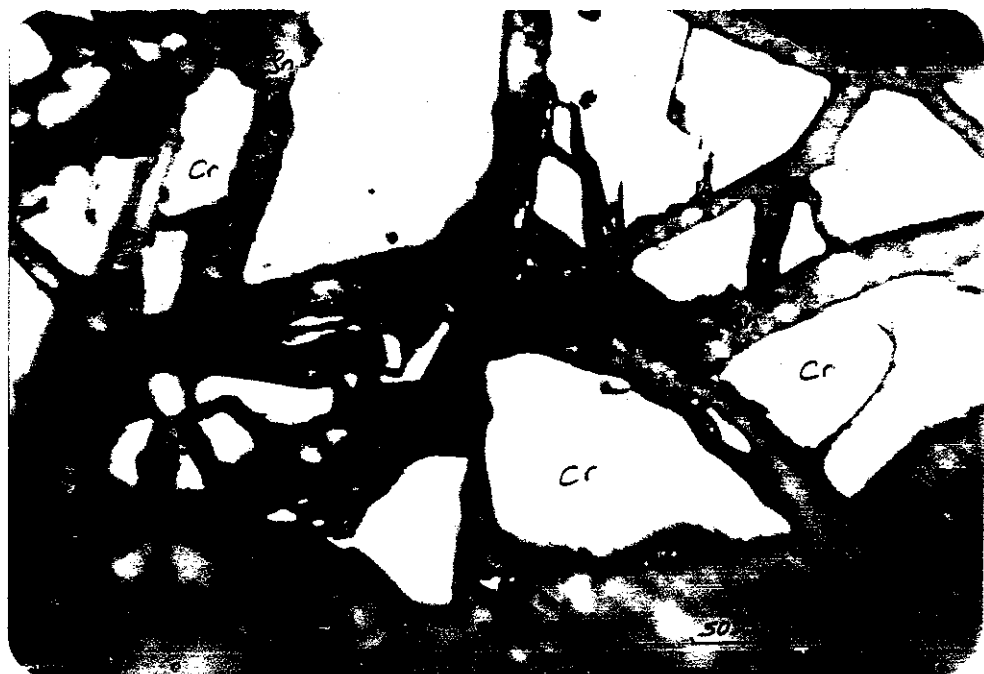


Foto-21: İleri derecede kataklazmaya uğramış kromit kristalleri (Cr) araları krom-klorit ve serpantin dolgulu (gn).

Kocayanık 4 No'lu Ocak

Parlatma No : 11-12

Cevher minerali : Kromit

Gang mineralleri: Serpantin

Eser mineraller : Heslavodit

Kromit kataklazmaya uğramış ve kataklastik çatlaklarını ve tane aralarını gang minerali olan serpantin doldurmuştur. Ayrıca çok küçük boyutta (40 mikron) nikel minerali olan heslavodit gözlenmektedir (Foto-22 ve 23).

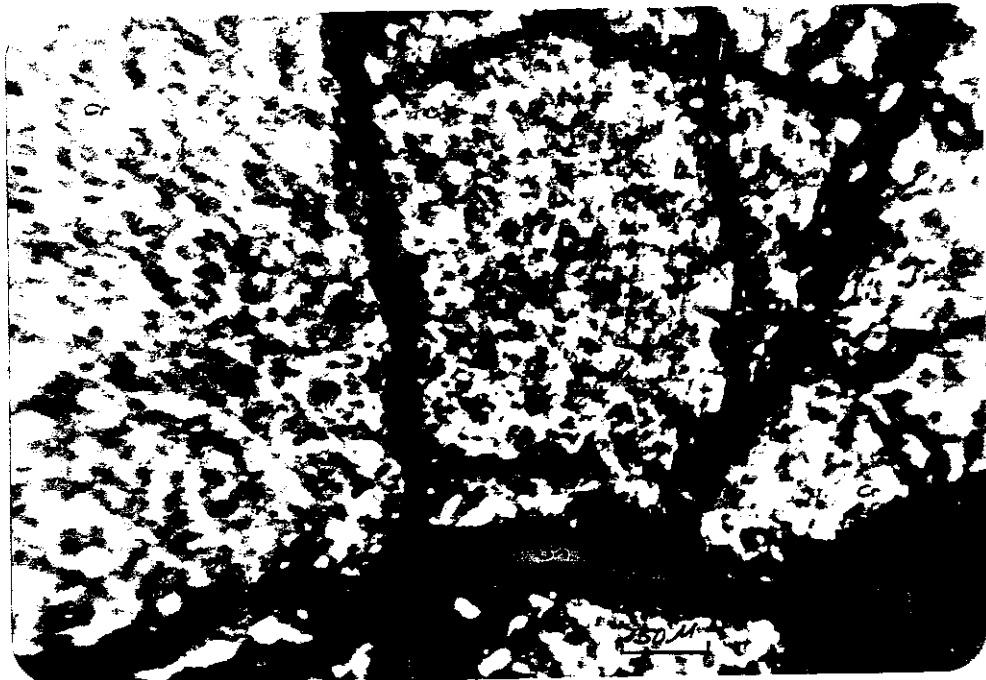


Foto-22: Sünger yapılı kromit (Cr) ve kromit tanelerinin etrafını ve çatlaklarını dolduran serpantin (gn).



Foto-23: Kataklazmaya uğramış kromit (Cr), çatlaklar arasını dolduran gang minerali serpantin (gn) ile heslavodit (Ni).

Yavşanlı 1 No'lu Ocak

Parlatma No : 3-5

Cevher minerali : Kromit

Gang minerali : Serpantin

Eser mineral : Manyetit

İleri derecede tektonizma hareketine maruz kalması nedeniyle bol kırıkçı ve çatlaklı yapıya sahip kromit kenarları boyunca manyetitleşmiştir (Foto-24). Ayrıca belirgin kırmızı iç refleksiyona sahiptir. Bu özellikler kromitlerin Al ve Mg'ca zengin olduğunu işaret etmektedir (Foto-25).

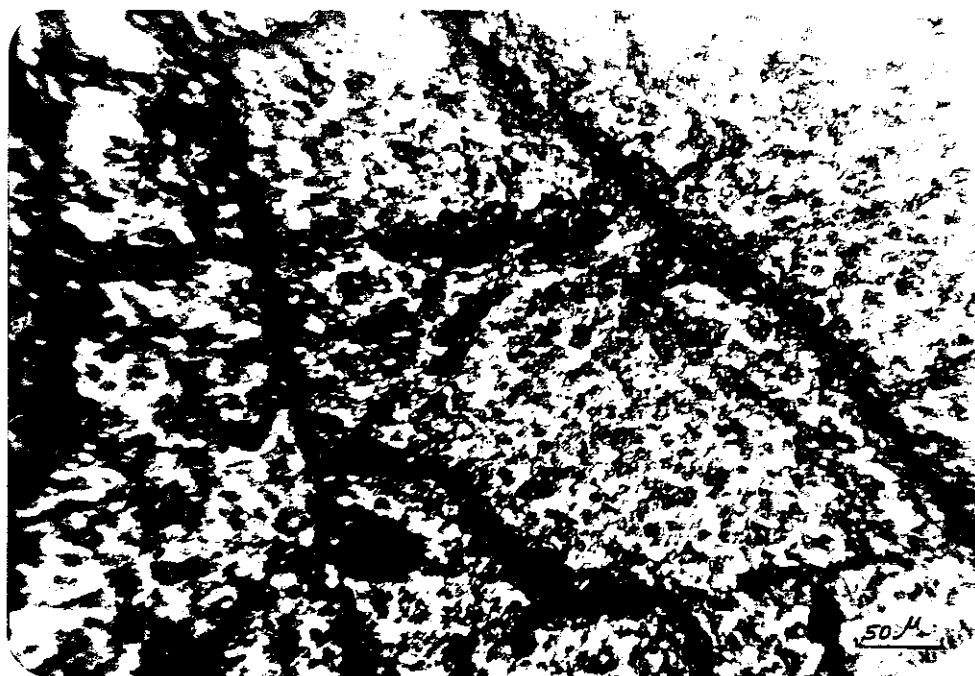


Foto-24: İleri derecede kataklazmaya uğramış kromit (Cr) kenarları boyunca manyetitleşmiştir (Mg).

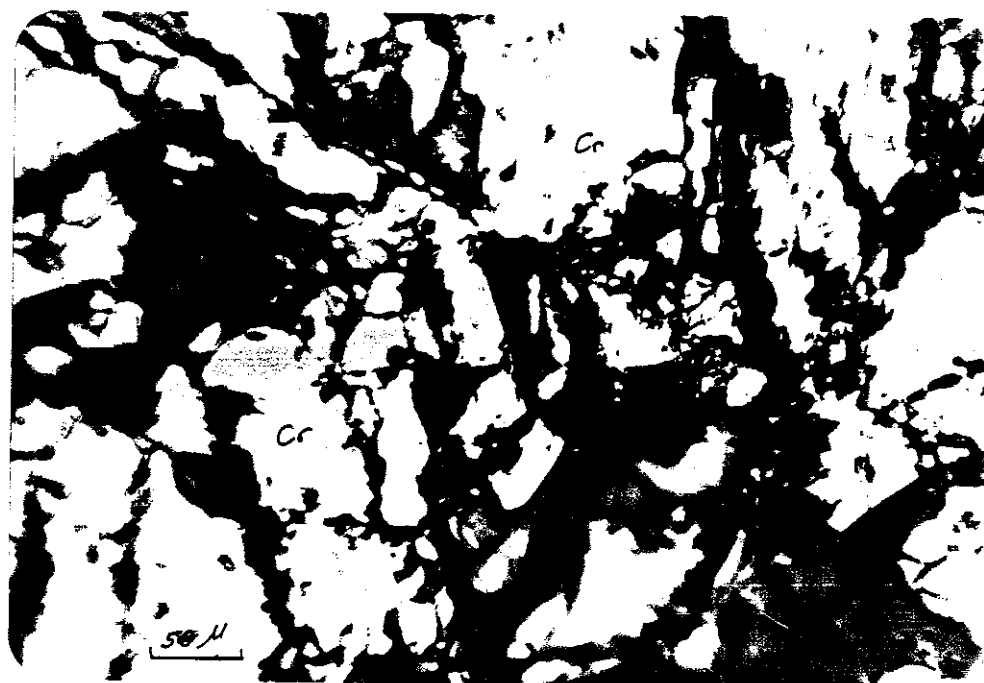


Foto-25: İleri derecede kataklazmaya uğramış kromit (Cr) belirgin kırmızı iç refleksiyona sahiptir.

Yavsanlı 2 No'lu Ocak

Parlatma No : 6-11-13

Cevher minerali : Kromit

Gang minerali : Serpantin

Eser mineral : Manyetit

Kromit taneleri irili ufaklı olup, taneler öz-yarı öz şekillidirler. Kromit yine kataklazmaya uğramış, kenarları boyunca manyetite dönüşmiş ve çatılar, tane araları serpantin ile doldurulmuştur (Foto-26).

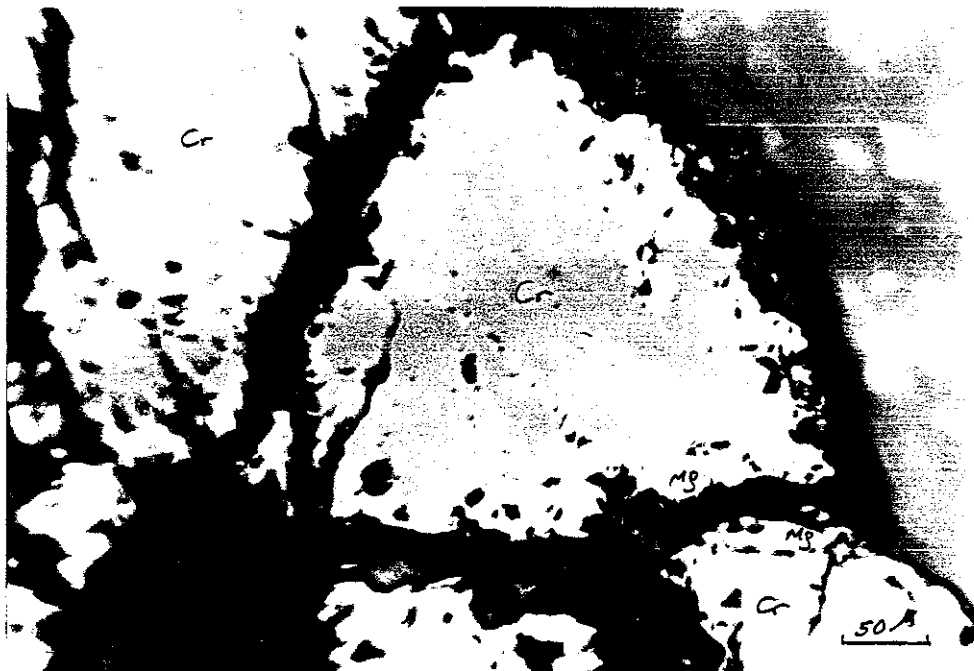


Foto-26: Kataklazmaya uğramış kromit (Cr) kenarları boyunca manyetite dönüşmiş (Mg).

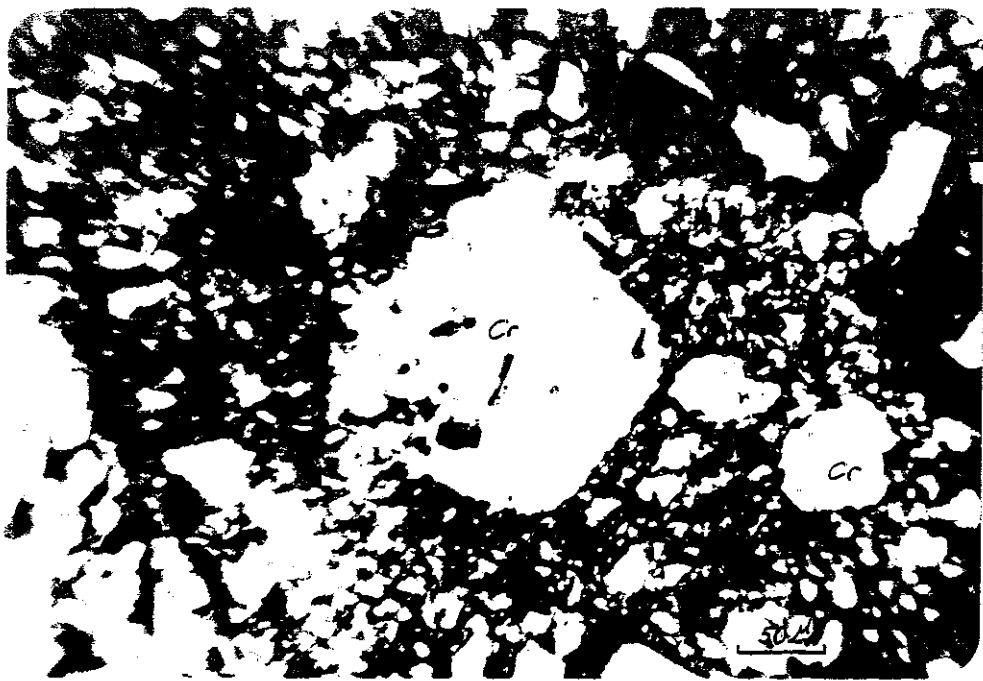


Foto-27: İleri derecede kataklazmaya uğramış kromit (Cr) ve serpantin (gn).



Foto-28: Sünger yapılı, ileri derecede kataklazmaya uğramış kromit (Cr).

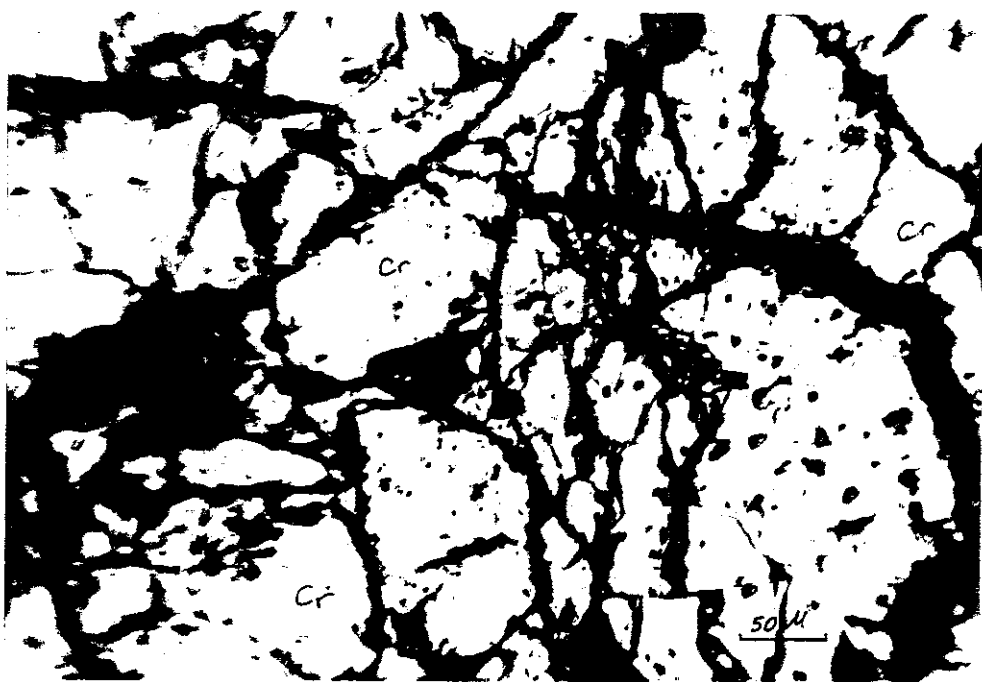


Foto-29: İleri derecede kataklazmaya uğramış kromit (Cr) ve çatlak aralarını dolduran gang minerali serpentin (gn).

IV. YEŞİLOVA KROMİT CEVHERİNİN JEOKİMYASAL ÖZELLİKLERİ

Kimyasal formülü FeCr_2O_4 olan mineral krom yataklarında nadiren bu haliyle saf olarak bulunur. Daima mineralin strüktüründeki Fe iyonunun yerine kısmen Mg, Cr iyonunun yerine de kısmen Al iyonu geçmiş durumdadır. Bu durumda kromitin kimyasal formülü (Fe, Mg) (Cr, Al , Fe_2O_4) olmaktadır. Bu formülden hareketle, kromit cevherinin kimyasal analizinde nelerin aranacağı tespit edilerek analiz işlemlerine geçilmistiştir.

Çalışma alanında bulanan kromit ocaqlarının ancak, bazılardan alınan 11 adet örnek, kantitatif kimyasal analize tabi tutulmuştur. Bu kimyasal analiz aşağıdaki aşamalardan geçerek yapılmaktadır. (Analizler, tuvenan cevherden yapılmıştır.)

0.2 gr havanda dövülmüş kromit numunesine on katı kadar KSO_4 konup, fırında 800°C 'de ısıtılıarak eritiş yapılır. Yapılan eritiş numunesi nitrik asitli suya alınarak, ısıtilir ve süzülür. Filtre kağıdında kalan çökelek 1200°C 'de yakılarak, silis miktarı bulunur.

Silis'ten sonra kalan süzüntüye, amonyak ve amonyum klorürden hazırllanmış tampon eklenerek tekrar süzülür. Süzüntüde sadece Mg kalır. Filtre kağıdında tutulan Fe, Al, Cr çökelekleri sulu hidroklorik asitle çözülderek süzüntü bir kaba alınır. Bu ayırmadan sonra sıra ile Fe, Cr ve Al ayırması yapılır.

MgO Cöktürme ve Süzme : Magnezyumlu çözeltiye, 1.5 gr. amonyum fosfat konup, karıştırılır. Sonra çözeltiye pembe renk alıncaya kadar metil kırmızı (2-3 damla) konur. Çözelti buz üzerine konup, sarı renk alıncaya kadar (çökelek oluşuncaya) amonyak damlatılır.

Çökelme başlayınca bir gece dinlendirilir ve sonra süzülür. Kalan çökelek fırında 1100°C 'de yakılıp, tartılır ve MgO miktarı bulunur.

Fe, Al ve Cr'den Fe'in Ayrılması : Berrak çözelti %5'lik 100 ml. sodyum hidroksit (NaOH) çözeltisine karıştırarak, azar azar ilave edilir. Birkaç dakika kaynatılıp, soğutulur. Çözeltiye rengi sarı olana kadar hidrojen peroksit konur. Bu işlem neticesinde demir-II iyonu, demir-III iyonu haline, Cr-III iyonu da Cr-IV iyonu (kromat) haline yükseltgenir. Demir-III hidroksit bir süzgeçten süzülür ve sıcak suyla yıkanır süzüntüler bir behere toplanır. Demir-III hidroksit çökeleği 2M hidroklorik asitte çözülür. 50-60 ml'ye seyreltilir ve kaynama sıcaklığına kadar ısızılır. Üzerine damla damla derişik NaOH konur. Çökelek süzülür ve amonyaklı suyla yıkanır. Çökelek 1200°C 'de yakılarak sabit tartıma getirilir. Sonuç Fe_2O_3 olarak verilir.

Kromun Kurşun Kromat Halinde Tayini : 0.1 gr. kadar krom-III içtiva eden bir çözeltiye (100 ml'ye kadar seyreltilmiş) çökmenin başlama anına kadar damla damla 0.1 N sodyum hidroksit (NaOH) çözeltisi konur. Bunun üzerine 10-15 ml. asetat tamponu ilave edilir, (asetat tamponu, litrede 6M asetik asit ve 0.6 M sodyum asetat içtiva edecek şekilde hazırlanır). Bundan sonra 10 ml. kadar %3.5'lik berrak kurşun nitrat çözeltisi ve 10 ml'de %2'lik potasyum bromat çözeltisi konup, 90°C 'ye kadar ısızılır. Bu arada kurşun kromat çökmeye başlar ve takriben 40-45 dakikada çökme tamamlanır, (Çökme tamam olduğu zaman çökeleğin üstündeki çözelti renksiz olmalıdır). Soğutulan karışım bir süzme krözesinden süzülüp, %0.1'lik nitrik asit çözeltisiyle yıkanır ve 120°C 'de sabit tartıma getirilir. Çökeleğin formülü PbCrO_4 'dır.

Çökeleğin gram sayısı 0.1609 ile çarpılarak, gram olarak krom miktarı bulunur, (A). Cr_2O_3 haline getirmek için;

2 x 52 gr Cr

104 + 48 gr Cr_2O_3

A gr Cr

X

X = Cr_2O_3 olarak bulunur.

Al Ayrımı : Kromdan sonra süzülen çözeltiye renk pembe veya soğan kabuğu oluncaya kadar metil kırmızı konup, ısıtılır. Sonra içine biraz amonyum klorür (NH_4Cl) konur ve içine turnusal kağıdı atılır. Turnusal kağıdı mavi oluncaya kadar amonyak çözeltisi konur. Sonra biraz çökmesi beklenip, ılıkken süzülür. Filtre kağıdında tutulan çökelek 1200°C 'de sabit tartıma getirilir. Çökeleğin formülü Al_2O_3 'dur.

Yukarıda açıklanan analizler yardımıyla kromitlerin kimyasal bileşimi ve tenörü hakkında bilgi edinilmiştir (Tablo-1).

Tablo-2'de verilen değerlerden de anlaşılacağı gibi Cr_2O_3 oranı %22.50-45.30 arasında değişmektedir. SiO_2 oranı %9.52-15.45 arasında; Al_2O_3 %10.50-19.32 arasında; Fe_2O_3 oranı %11.4-16.2 arasında; MgO oranı ise %16.00-34.45 arasında değişmektedir.

Bölgede harzburjıt içerisinde yer alan kromitler Alpin tipi (podiform) kromit yataklarının tipik özelliklerini sergilemektedir. Bu özellikler, kromit kütlelerinin boyutlarının küçük düzensiz şekilli oluşları, serpentinleşmenin yoğun ve kromitçe zengin olmaları gibi özelliklerdir. Ayrıca analiz sonuçları da bunların podiform kromit özelliklerine sahip olduklarını göstermektedir (Tablo-3). Podiform kromitler kimyasal olarak şu özelliklere sahiptir: (Raingand Voughan, 1981).

- MgO/FeO oranı 1-2,3 arasındadır.
- Cr/Fe oranı 1-4,3 arasındadır.
- Cr_2O_3 ve Al_2O_3 miktarları ters orantılıdır.

Kromit cevherleşmesinin analizinde kromit mineralleri gang ile birlikte analiz edildiğinden doğrudan kromit tanelerinin analizi yapılmamıştır. Bu nedenle kromit mineralinin formüle edilmesi sahamız için mümkün olmamıştır.

Yeşilova kromitlerinin, Türkiye'deki diğer kromitlerle karşılaştırıldığında aşağı yukarı benzer özellikler gösterdiği görülmüştür. Bu benzer özellikler;

- Manto kökenli, Alpin tipi (podiform) kromit olmaları,
- Harzburjitler içinde bulunmaları ve dunitik kılif ile çevrili olmaları,
- Gerek doğrultu, gerekse eğim yönünde büyük devamlılık göstermemeleri,
- Yan kayaçta serpentinleşmenin yoğun olması,
- Benekli, masif, bantlı ve leopar yapı ve dokulardan bir veya birkaçına veya hepsine birden sahip olmaları,
- Çoğu kromitlerde olduğu gibi tektonizma etkilerinin görülmesidir.

Akdeniz Üniversitesi
Rektörlüğü İstuphanesi
Demirbaş İ.v. 1940

Tablo-2: Yesilova (Burdur) Kromit Örneklerinin Kimyasal Analiz Sonuçları.

Bilesim %	Kocayank-1 (Benekeли)	Kocayank-2 (Benekeли)	Kocayank-3 (Benekeли)	Kocayank-4 (Benekeли)	Yavşanlı-1 (Benekeли)	Yavşanlı-2 (Benekeли)
Cr ₂ O ₃	35.50	28.77	29.20	35.11	22.50	28.55
Al ₂ O ₃	10.50	19.32	18.00	14.60	17.20	17.92
Fe ₂ O ₃	12.83	13.00	14.90	14.80	13.40	14.70
SiO ₂	13.27	14.22	13.34	13.55	15.45	13.40
MgO	26.60	29.60	28.53	24.20	30.45	25.30
TOPLAM	98.70	104.91	103.97	102.26	99.00	99.87

Bilesim %	Kocayank-1 (Masif)	Kocayank-2 (Masif)	Kocayank-3 (Masif)	Yavşanlı-1 (Masif)	Yavşanlı-2 (Masif)
Cr ₂ O ₃	41.60	45.30	43.35	44.37	38.85
Al ₂ O ₃	12.10	13.00	13.90	13.10	11.42
Fe ₂ O ₃	15.30	14.50	12.20	14.90	12.35
SiO ₂	11.25	9.52	14.15	10.14	13.00
MgO	23.65	20.45	24.88	21.00	28.90
TOPLAM	103.90	102.77	108.47	103.51	104.52

Tablo-3: Kromit örneklerine ait bazı oranlar.

Ocak Adı	Cr/Al oranı		Cr/Fe oranı		MgO/Fe Oranı	
	Benekli	Kasif	Benekli	Kasif	Benekli	Kasif
Kocayanık I	3•38	3•44	2•77	2•72	2•07	1•54
Kocayanık II	14•9	3•48	2•21	3•12	2•28	1•41
Kocayanık III	1•62	3•12	1•96	3•55	1•91	2•04
Kocayanık IV	2•40	—	2•37	—	1•63	—
Yavşanlı Üstü	1•31	3•39	1•67	2•98	2•27	1•41
Yavşanlı	1•59	3•40	1•94	3•14	1•72	2•34

V. YEŞİLOVA KROMİTLERİNİN MINERALOJİK VE JEOKİMYASAL ÖZELLİKLERİNİN CEVHER HAZIRLAMA BAKIMINDAN İRDELENMESİ

Yerkabığında mevcut cevherlerin tenörleri yüksek olursa basit birkaç işlem sonucu metalurjik tesislerde işlenebilir. Fakat cevherin tenörü düşük olursa cevherdeki gang mineralleri metal minerallerinden ayrılarak ham cevhre nazaran daha yüksek tenörlü konsantreler elde edilir. Daha yüksek tenörlü konsantreler elde etme tekniği cevher zenginleştirme işlemlerini kapsar.

Cevher zenginleştirme işleminin her safhasında mineralojik incelemeler gereklidir. Mineralojik incelemeler; zenginleştirilecek ve atılacak mineral çeşitlerini, dokuyu (taneler arası ilişki, tane şekilleri, tane boyutları) belirlemek ve bunların sonucunda çeşitli örneklerde gözlenen değişimleri saptamak amacıyla yapılır. Yeşilova kromitleri üzerinde yapılan mineralojik incelemelerde, ekonomik mineral olan sadece kromitin serpantinden ayrılacağı belirlenmiştir. Ayrıca katalastik bir dokuya sahip oldukları öz-yarı öz şekilli olan tane boyalarının 0.007 mm. ile 1.43 mm. arasında olduğu ve tanelerin etrafının serpentin gangı ile sarıldığı gözlenmiştir.

Cevher zenginleştirmenin ilk safhası ham cevherin kırılmasıdır. Kırmış işleminden sonra öğütme işlemleri yapılır. Öğütülen ham cevher istenilen tane iriliğine kadar çeşitli eleklerden geçirilir. Teorik olarak elemeye arzu edilen husus, elek üzerinde bulunan en küçük tanecik, elek altında bulunan en büyük tanecikten büyük olmalıdır. Pratikte bunu tam uygulamak, eleme işlemini uzun süreli yapmak gerektiğinden mümkün değildir.

Elek analizleri, çeşitli eleklerin büyüklük sıralarına göre elenen malzemeden elde edilen, elek fraksiyonlarının incelenmesi esasına dayanır. Her bir fraksiyondaki serbestleşmiş cevher mineralinin boyutu ve birim alana göre yüzde miktarının tesbit edilmesi en ideal ölçüm şeklidir.

Mikroskopik inceleme deneyi, taneler arasındaki özellikle faydalı mineraller ile gang mineralleri arasındaki serbestlik derecesini saptamak amacıyla yapılmıştır. Ayrıca serbestleşme derecesi tesbit edilen minerallerin miktarı ve bu mineraller içindeki metalin tenörü de tesbit edilebilmektedir. Yani burada esas olarak, faydalı ve faydasız (gang) minerallerin serbestleşme tane iriliğinin tesbiti amaçlanmaktadır.

Bu işlemlerin yapılması aşağıda yazıldığı gibi olmaktadır.

- Deney sırasında kullanılacak olan numune çeneli kırıcılarla kırılıp öğütüldükten sonra, elek analizine tabi tutularak belirli fraksiyonlara ayrılır.

- Serbestleşme tane iriliği tesbiti sırasında mikroskop (polarized mikroskopu veya metal mikroskopu) kullanılır.

- Daha önceden bakalite dökülerek parlak kesit yapılmış olan her bir elek fraksiyonu (cevher ve gang mineral yüzdeleri) mikroskop altında incelenerek tane sayımı yapılır.

- Tesbit edilen tanelerin sayısı kaydedilerek serbestleşme dereceleri hesap edilir.

Eğer cevher mineralinin serbest taneler halinde bulunduğu boyut (kırma ve elemeden sonra elde edilen boyut), kırılmamış cevherdeki mineralin tane boyu dağılımına eşit ise en ekonomik durum budur. Aksi halde, değirmen ürünleri maden mikroskobunda incelenerek en ekonomik cevher hazırlama boyutu tesbit edilecektir.

Kırıcı ve öğütücüler çok elektrik sarfettiklerinden ve uygun kırcı, çene gerektiğinden gereksiz ögütme işlemleri ekonomikliliği düşüreceğinden, serbestleşmenin elde edildiği en büyük boyut, en ekonomik tane serbestleşme boyutu olmalıdır.

Zenginleştirme yöntemleri şöyle sıralanabilir:

- a) 0.3 mm'nin üzerinde serbestleşen cevherler için gravimetrik yöntemler (Jig ve ağır ortam eriticileri, sallantılı masa)
- b) 0.3 mm'nin altında serbestleşen cevherler için manyetik ayırım veya floatasyon yöntemleri,
- c) Eğer kenetlenme çok çok ince ise (kafes içine varan) hidrometalurjik yöntemler,

Bu durumda Yeşilova kromitleri ikinci maddeye girmektedir. Yani 0.3 mm'nin altında serbestleştiğinden, manyetik ayırım veya floatasyon yöntemleri kullanılarak zenginleştirilebilir.

1. SERBESTLESME DERECESİ

Serbestleşme derecesi aşağıda verilen formül ile hesaplanmaktadır (Serbestleşme derecesi, tenörü düşük olan benekli cevherler için bulunmuştur).

Serbestleşme Derecesi : %S =
(Belli boyuttaki taneler için)

$$\%S = \frac{\text{Serbest Taneler}}{\text{Serbest Taneler} + \text{Eşdeğer Tane}} \times 100$$

Eşdeğer tane, sayımı yapılan her bir fraksiyon ürünündeki her bir tanenin içerdiği ekonomik mineral yüzdeleri ile bu yüzdelere sahip tane sayılarının çarpılmasıyla elde edilmektedir.

Kocayanık 1 No'lu Ocak : Diğerlerine örnek olması amacıyla 150 ve 300 mikron için serbestlesme derecesi hesabını açıklayacak olursak, 150 mikronda sayılan toplam kromit tanesi 676, serbest kromit tanesi 676'dır. Yani gang ile bileşik tane hiç yoktur. Dolayısıyla eşdeğer tane sıfırdır. 300 mikron boyutundaki tanelerin sayımında toplam 444 tane sayılmıştır. Bunlardan 324 tanesi tamamen serbest kromit taneleri olup, 51 tanesi %80 kromit (%20 gang), 43 tanesi %50 kromit (%50 gang) ve 26 tanesi %20 kromit (%80 gang) içermektedir.

$$150 \text{ mikron için; } S_{\text{krom}} = \frac{676}{676+0} \times 100 = \%100$$

$$300 \text{ mikron için; } S_{\text{krom}} = \frac{324}{324+67.5} \times 100 = \%82.76$$

Eşdeğer tane : $51 \times 0.80 = 40.8$

$$43 \times 0.50 = 21.5$$

$$\begin{array}{r} 26 \times 0.20 = 5.2 \\ \hline 67.5 \end{array}$$

$$425 \text{ mikron için; } S_{\text{krom}} = \frac{185}{185+127.9} \times 100 = \%59.12$$

Eşdeğer tane : $62 \times 0.80 = 49.6$

$$97 \times 0.50 = 48.5$$

$$118 \times 0.20 = 23.6$$

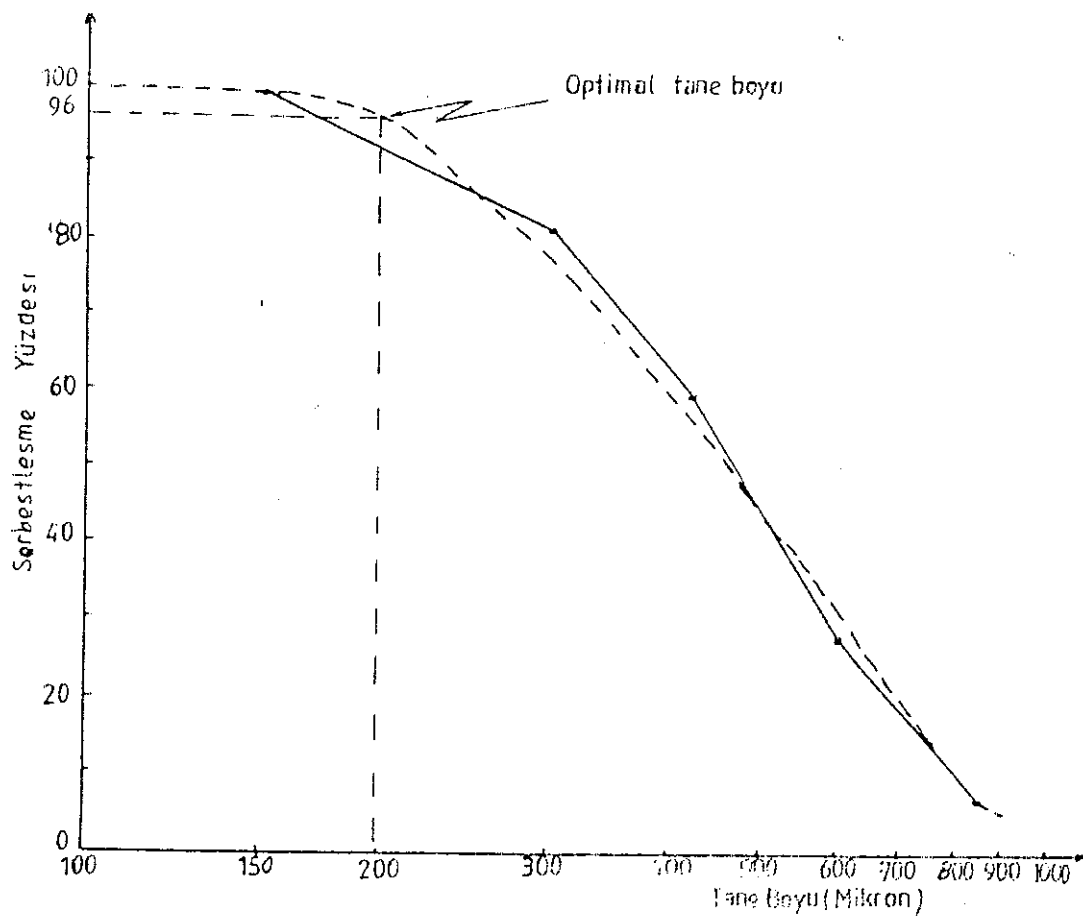
$$\begin{array}{r} 62 \times 0.10 = 6.2 \\ \hline 127.9 \end{array}$$

$$600 \text{ mikron için; } S_{\text{krom}} = \frac{55}{55+141.4} \times 100 = \%28.00$$

$$\begin{aligned} \text{Eşdeğer tane : } & 65 \times 0.80 = 52 \\ & 129 \times 0.50 = 64.5 \\ & 110 \times 0.20 = 22 \\ & 29 \times 0.10 = 2.9 \\ & \hline & 141.4 \end{aligned}$$

$$850 \text{ mikron için; } S_{\text{krom}} = \frac{13}{13+151} \times 100 = \%7.93$$

$$\begin{aligned} \text{Eşdeğer tane : } & 62 \times 0.90 = 55.8 \\ & 132 \times 0.50 = 66 \\ & 146 \times 0.20 = 29.2 \\ & \hline & 151 \end{aligned}$$



Sekil-2: Yer=Kocayanık 1 No'lu Ocak

Elenmiş tanelerden yapılan parlatma serilerinde serbestleşen taneler şeklinde, yüzde mineral oranını gösteren eğri.

- Kesiksiz çizgi gözlenen değerleri göstermektedir.
- Kesikli çizgi serbestleşen tanelerin ortalamaya miktarını göstermektedir.

Kocayanık 2 No'lu Ocak

$$150 \text{ mikron için; } S_{\text{krom}} = \frac{680}{680+0} \times 100 = \%100$$

$$300 \text{ mikron için; } S_{\text{krom}} = \frac{300}{300+86} \times 100 = \%77.72$$

$$\text{Eşdeğer tane : } 45 \times 0.80 = 36$$

$$68 \times 0.50 = 34$$

$$80 \times 0.20 = 16$$

$$86$$

$$425 \text{ mikron için; } S_{\text{krom}} = \frac{120}{120+197.9} \times 100 = \%37.74$$

$$\text{Eşdeğer tane : } 88 \times 0.80 = 70.4$$

$$210 \times 0.50 = 105$$

$$225 \times 0.10 = 22.5$$

$$197.9$$

$$600 \text{ mikron için; } S_{\text{krom}} = \frac{85}{85+195.6} \times 100 = \%30.29$$

$$\text{Eşdeğer tane : } 82 \times 0.80 = 65.6$$

$$200 \times 0.50 = 100$$

$$150 \times 0.20 = 30$$

$$195.6$$

$$850 \text{ mikron için; } S_{\text{krom}} = \frac{11}{11+222.5} \times 100 = \%4.71$$

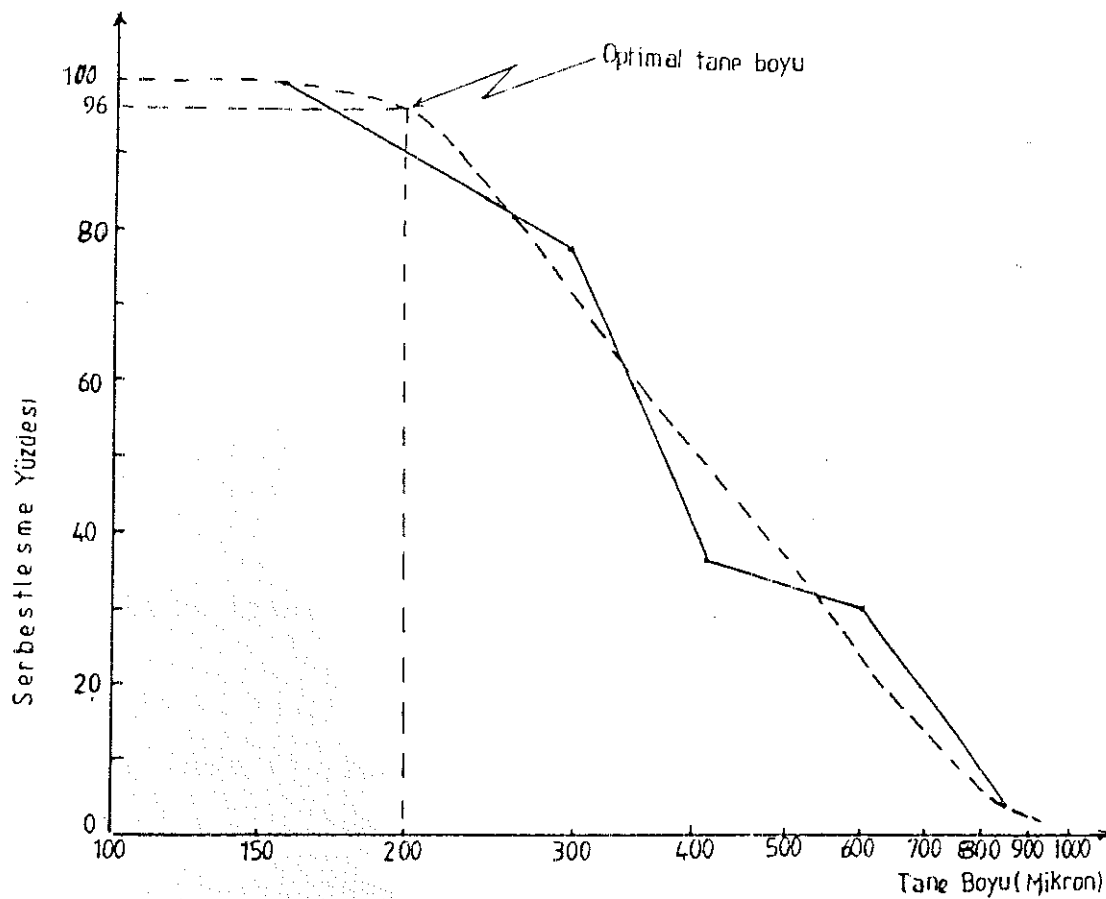
$$\text{Eşdeğer tane : } 100 \times 0.80 = 80$$

$$208 \times 0.50 = 104$$

$$85 \times 0.20 = 17$$

$$225 \times 0.10 = 22.5$$

$$222.5$$



Şekil-3: Yer=Kocayanık 2 No'lu Ocak

Elenmiş tanelerden yapılan parlatma serilerinde serbestleşen taneler şeklinde yüzde mineral oranını gösteren eğri.

Kocayanık 3 No'lu Ocak

$$150 \text{ mikron için; } S_{\text{krom}} = \frac{728}{728+0} \times 100 = \%100$$

$$300 \text{ mikron için; } S_{\text{krom}} = \frac{275}{275+67} \times 100 = \%80.41$$

$$\text{Eşdeğer tane : } 45 \times 0.80 = 36$$

$$40 \times 0.50 = 20$$

$$55 \times 0.20 = 11$$

$$\underline{67}$$

$$425 \text{ mikron için; } S_{\text{krom}} = \frac{125}{125+100.9} \times 100 = \%55.33$$

$$\text{Eşdeğer tane : } 48 \times 0.80 = 38.4$$

$$85 \times 0.50 = 42.5$$

$$\begin{array}{r} 100 \times 0.20 = 20 \\ \hline 100.9 \end{array}$$

$$600 \text{ mikron için; } S_{\text{krom}} = \frac{62}{62+148.9} \times 100 = \%29.39$$

$$\text{Eşdeğer tane : } 70 \times 0.80 = 56$$

$$125 \times 0.50 = 62.5$$

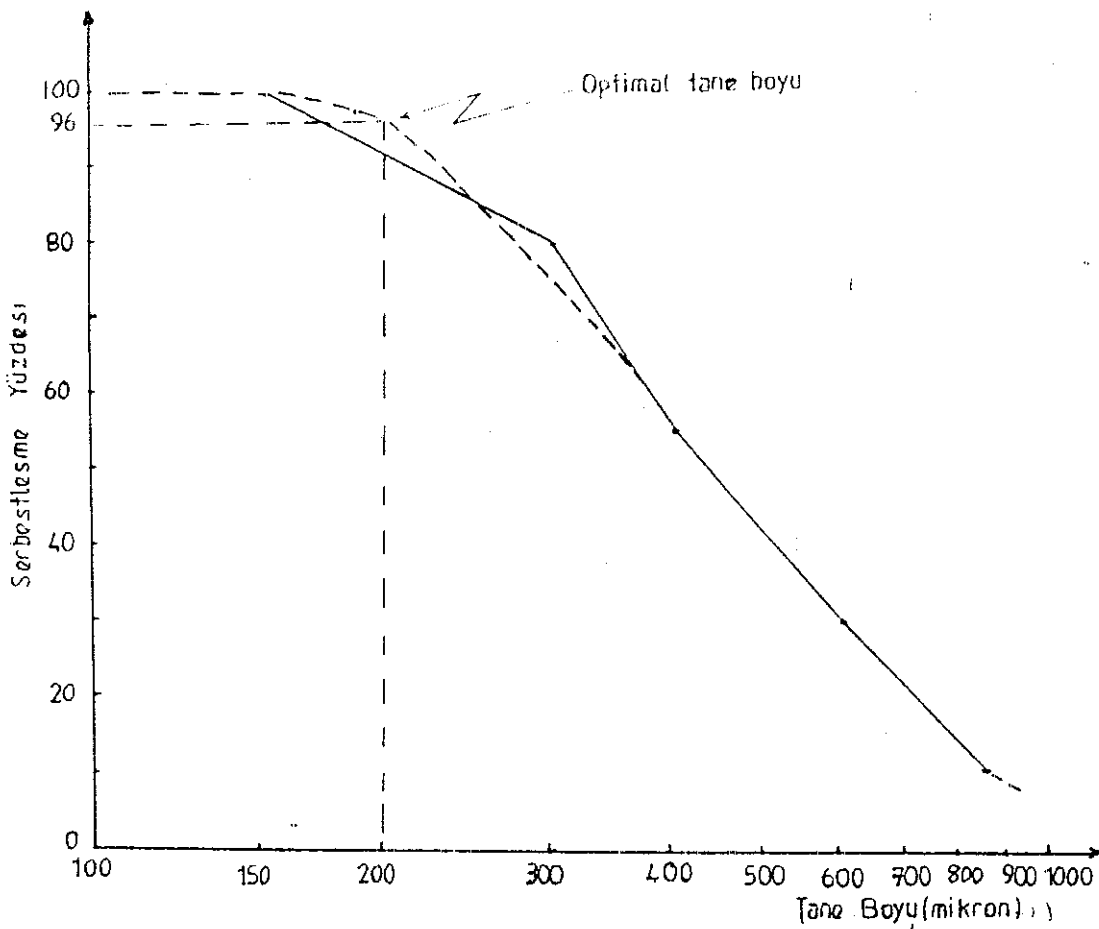
$$\begin{array}{r} 152 \times 0.20 = 30.4 \\ \hline 148.9 \end{array}$$

$$850 \text{ mikron için; } S_{\text{krom}} = \frac{20}{20+164.8} \times 100 = \%10.82$$

$$\text{Eşdeğer tane : } 62 \times 0.80 = 49.6$$

$$170 \times 0.50 = 85$$

$$\begin{array}{r} 151 \times 0.20 = 30.2 \\ \hline 164.8 \end{array}$$



Sekil-4: Yer-Kocayanık 3 No'lu Ocak
Elenmiş tanelerden yapılan parlatma serilerinde serbestleşen taneler şeklinde yüzde mineral oranını gösterir eğri.

Kocayanık 4 No'lu Ocak

$$150 \text{ mikron için; } S_{\text{krom}} = \frac{826}{826+0} \times 100 = \%100$$

$$300 \text{ mikron için; } S_{\text{krom}} = \frac{322}{322+98.1} \times 100 = \%76.65$$

$$\begin{aligned} \text{Eşdeğer tane : } & 88 \times 0.80 = 70.4 \\ & 39 \times 0.50 = 19.5 \\ & 41 \times 0.20 = \underline{8.2} \\ & \qquad \qquad \qquad 98.1 \end{aligned}$$

$$425 \text{ mikron için; } S_{\text{krom}} = \frac{120}{120+118.1} \times 100 = \%50.40$$

$$\text{Eşdeğer tane : } 63 \times 0.80 = 50.4$$

$$109 \times 0.50 = 54.5$$

$$52 \times 0.20 = 10.4$$

$$28 \times 0.10 = 2.8$$

$$\underline{118.1}$$

$$600 \text{ mikron için; } S_{\text{krom}} = \frac{82}{82+153} \times 100 = \%34.89$$

$$\text{Eşdeğer tane : } 75 \times 0.80 = 60$$

$$120 \times 0.50 = 60$$

$$165 \times 0.20 = 33$$

$$\underline{153}$$

$$850 \text{ mikron için; } S_{\text{krom}} = \frac{18}{18+160.8} \times 100 = \%10.07$$

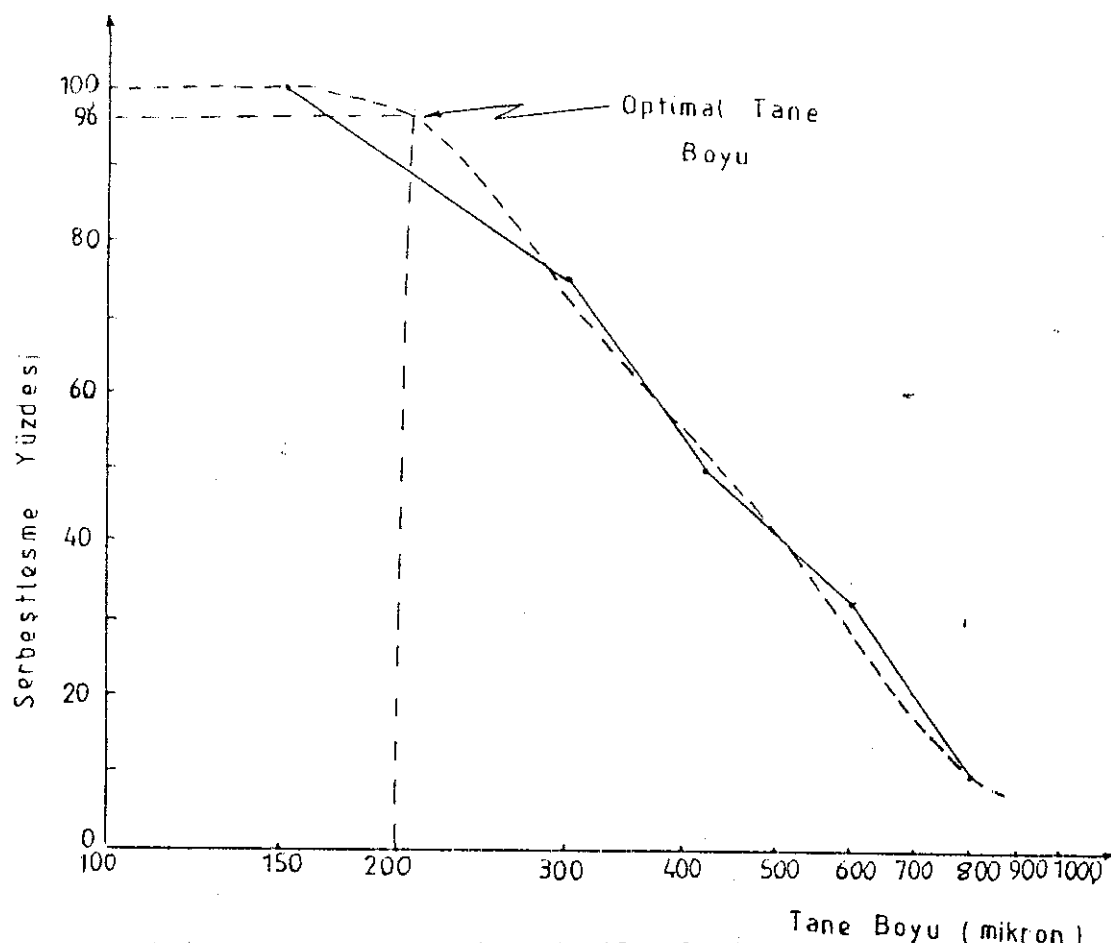
$$\text{Eşdeğer tane : } 29 \times 0.80 = 23.2$$

$$209 \times 0.50 = 104.5$$

$$126 \times 0.20 = 25.2$$

$$79 \times 0.10 = 7.9$$

$$\underline{160.8}$$



Şekil-5: Yer-Kocayanık 4 No'lu Ocak
Elenmiş tanelerden yapılan parlatma serilerinde serbestleşen taneler şeklinde yüzde mineral oranını gösteren eğri.

Yavşanlı 1 No'lu Ocak

$$104 \text{ mikron için; } S_{krom} = \frac{715}{715+0} \times 100 = \%100$$

$$150 \text{ mikron için; } S_{krom} = \frac{398}{398+2.7} \times 100 = \%99.33$$

$$\text{Eşdeğer tane : } 3 \times 0.90 = 2.7$$

$$200 \text{ mikron için; } S_{\text{krom}} = \frac{176}{176+112.7} \times 100 = \%60.96$$

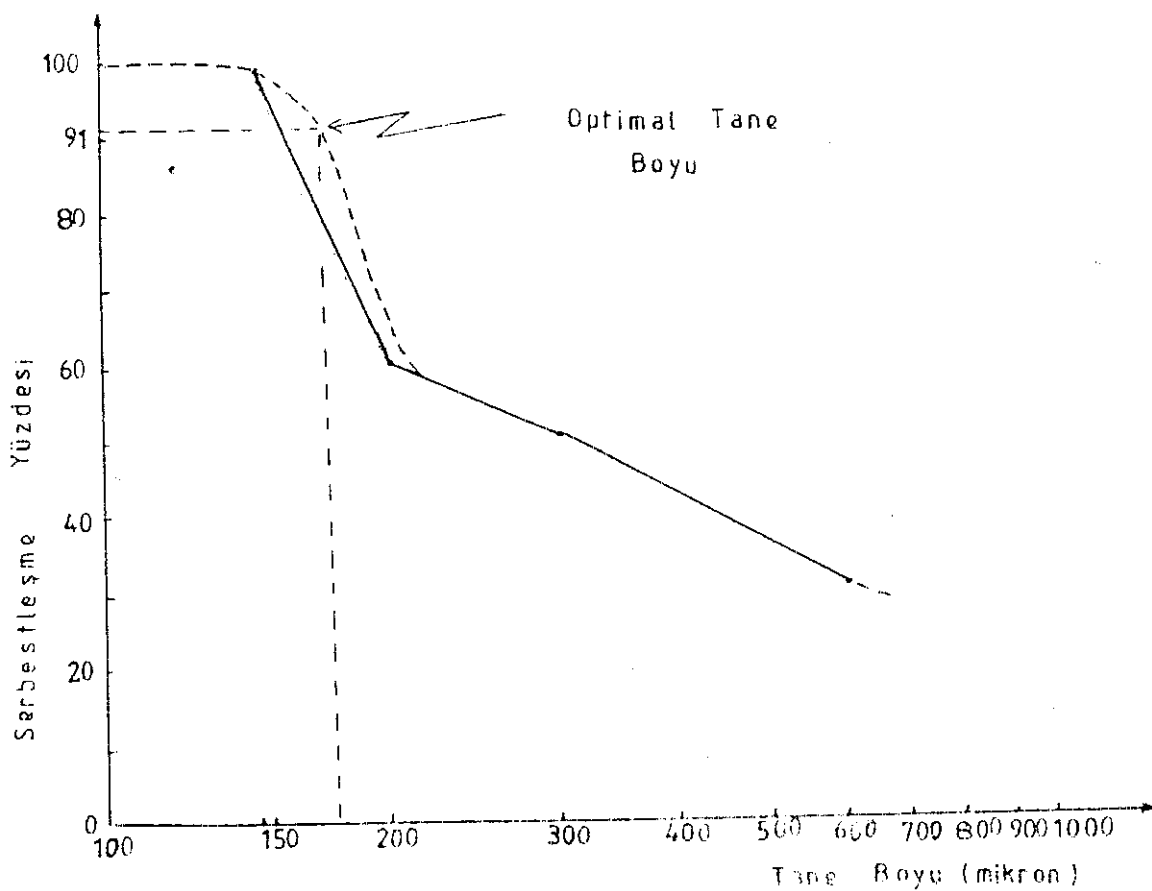
$$\begin{aligned} \text{Eşdeğer tane : } & 46 \times 0.80 = 36.8 \\ & 103 \times 0.50 = 51.5 \\ & 122 \times 0.20 = 24.4 \\ & \hline & 112.7 \end{aligned}$$

$$300 \text{ mikron için; } S_{\text{krom}} = \frac{150}{150+139.8} \times 100 = \%51.76$$

$$\begin{aligned} \text{Eşdeğer tane : } & 92 \times 0.80 = 73.6 \\ & 98 \times 0.50 = 49 \\ & 63 \times 0.20 = 12.6 \\ & 46 \times 0.10 = 4.6 \\ & \hline & 139.8 \end{aligned}$$

$$600 \text{ mikron için; } S_{\text{krom}} = \frac{51}{51+116.2} \times 100 = \%30.50$$

$$\begin{aligned} \text{Eşdeğer tane : } & 102 \times 0.80 = 81.6 \\ & 56 \times 0.50 = 28 \\ & 33 \times 0.20 = 6.6 \\ & \hline & 116.2 \end{aligned}$$



Şekil-6: Yer=Yavşanlı 1 No'lu Ocak

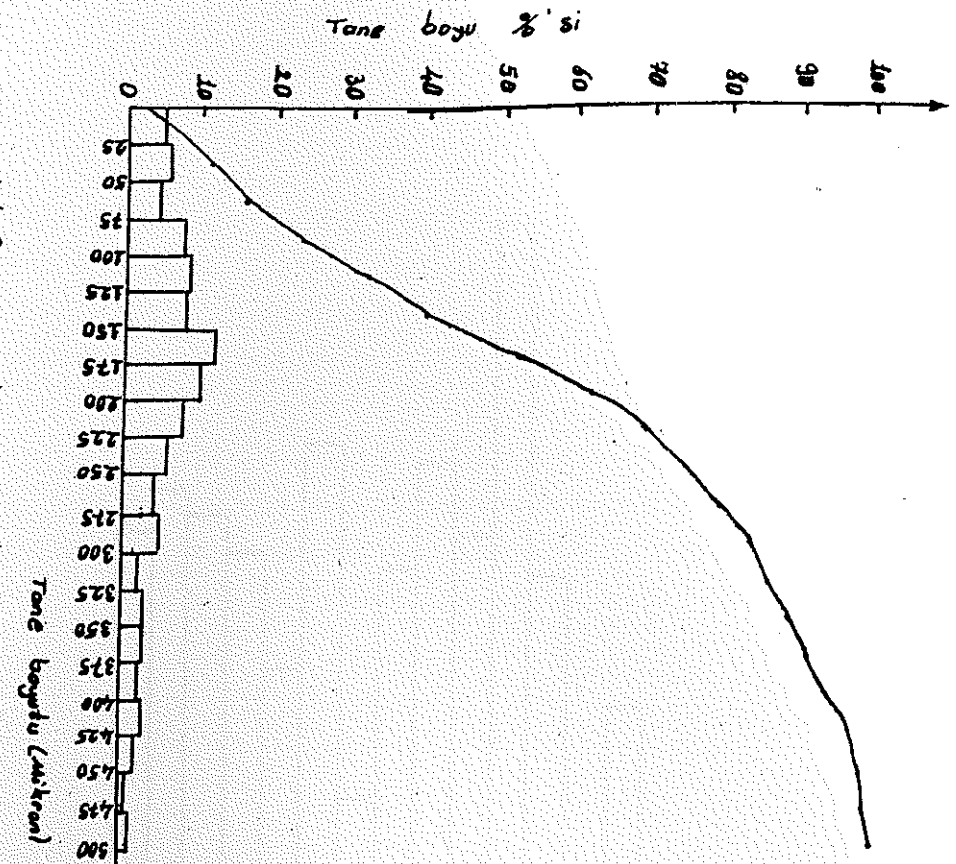
Elenmiş tanelerden yapılan parlatma serilerinde serbestleşen taneler şeklinde yüzde mineral oranını gösteren eğri.

Yapılan hesaplarda serbestleşme derecesi 150 mikronda %100 olmakla beraber, eğrinin dönme noktasına tekabül eden boyut (optimal boyut) ekonomik serbestleşme boyutu olarak verilmiştir. Bu boyutta, Yavşanlı 1 No'lu Ocak için 175 mikron (serbestleşme derecesi %91), diğerleri için 200 mikron (serbestleşme derecesi %96) olarak belirlenmiştir. Yani kromit cevheri bu tane iriliğinde bileşik halde bulunduğu gang minerallerinden serbest olarak maksimum değerde bulunabilmektedir. Bulunan serbestleşme dereceleri, bize kromitin tenörü hakkında yaklaşık bir fikir verir.

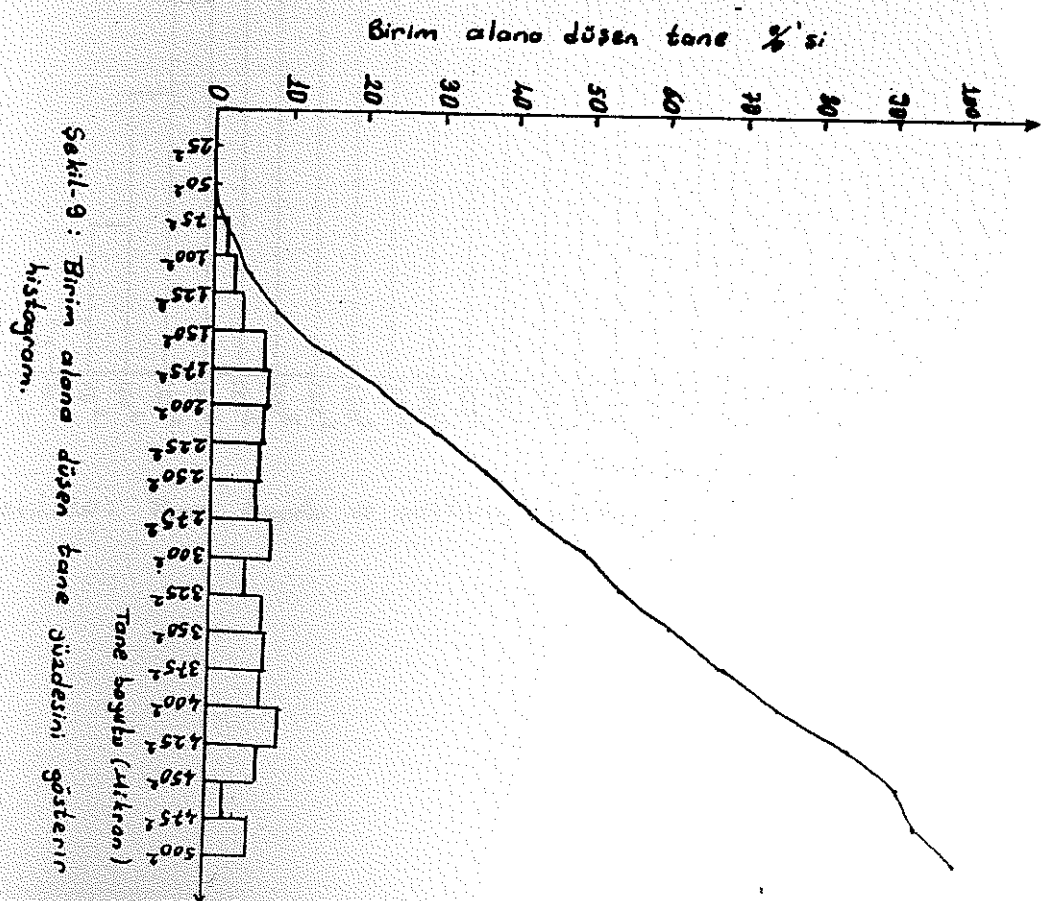
Buna göre,

	<u>İlk Tenör</u>	<u>Serbestlesme Dereceleri</u>
Kocayanık 1	35.50	91.00
Kocayanık 2	28.77	96.00
Kocayanık 3	29.20	96.00
Kocayanık 4	35.11	96.00
Yavşanlı 1	22.50	96.00

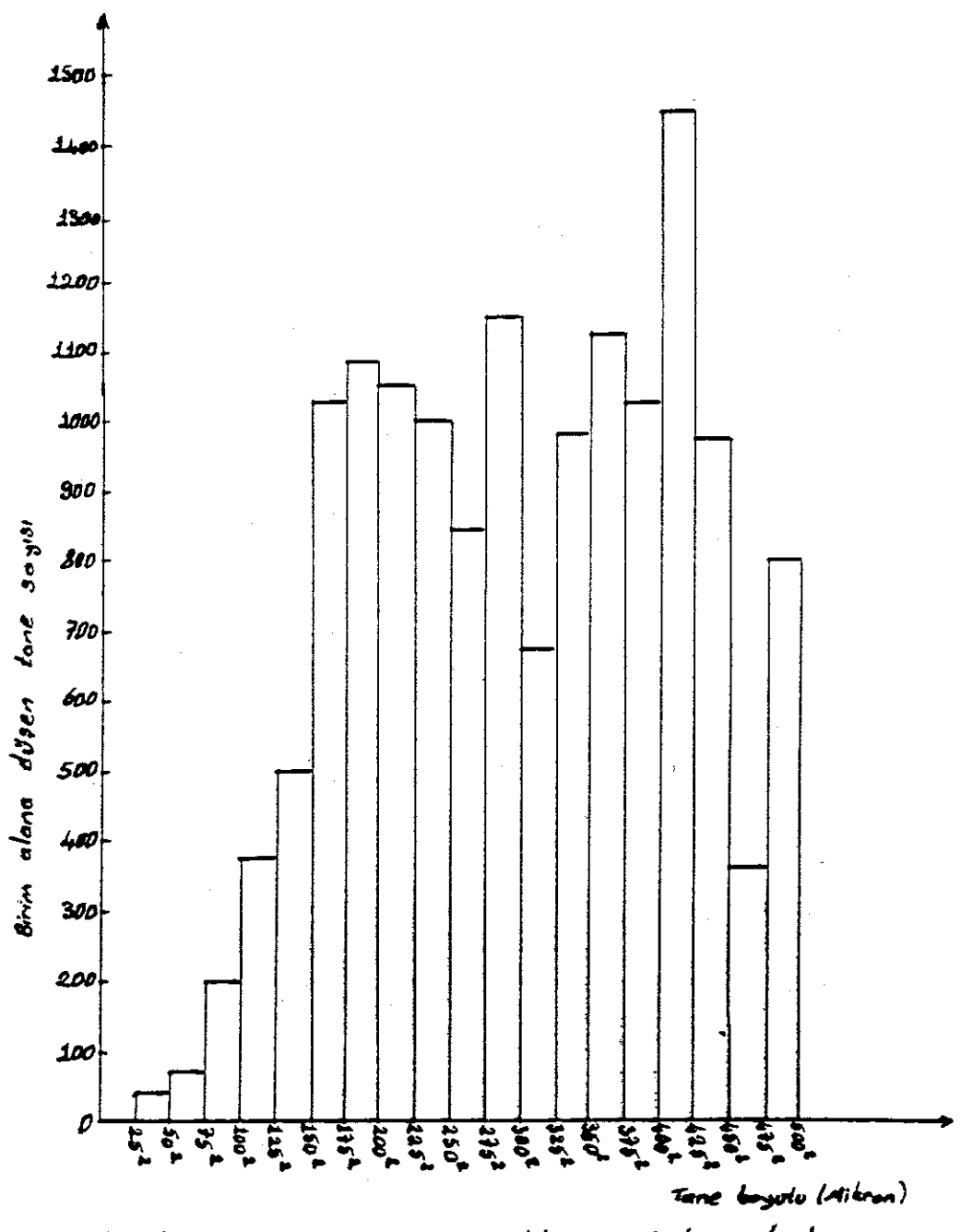
Öğütülmemiş cevherde (parlak kesitlerde) yapılan tane boyu ölçümlerine göre serbestleşme boyutu, çizilen histogramdan da anlaşılabileceği üzere 150-175 mikron aralığında olmaktadır. (Kocayanık-1 no'lu ocak için bulunmuştur.)



Sekil-8: Tane boyu dağılımının gösterir histogram.



Sekil-9: Birim alana düşen tane düzdesini gösterir histogram.

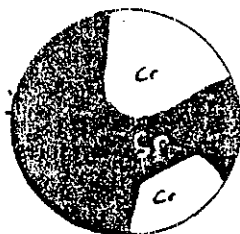


Sekil 10: Tone boyutu ve miktarını gösterir histogram.

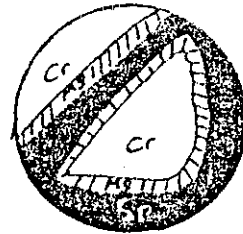
2. TANE ŞEKLİ

Parlak kesitler, maden mikroskobunda incelendiğinde tane yapıları, Tablo-4'de verilen G.C. Amstunz (1960)'ın tanelerin geometrik sınıflamasına göre 1a ve 2a tipi olarak belirlenmiştir.

1a tipinde, tane kenarı düz çizgi veya hafif büükümüş şekildedir. Yani tane kenarı kesindir. 2a tipinde ise, tanelerde zonlu yapı gözlenir. Bir mineral etrafı başka bir mineral ile kabuk şeklinde çevrilmiştir.



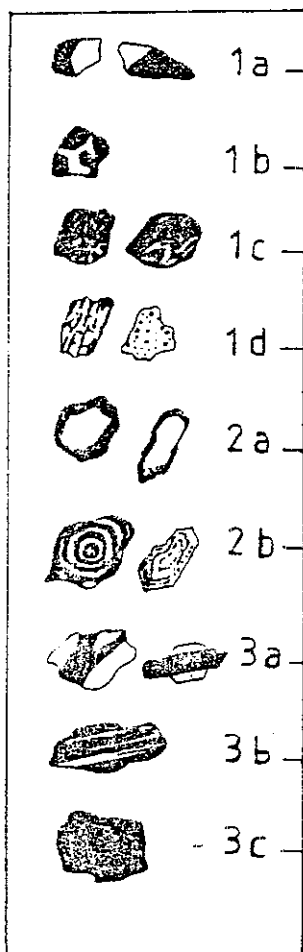
Tip 1a- Düz tane hudutlu
basit büyümeye.
Kromit (Cr), gang
minerali (sp).



Tip 2a- Zonlu, kabuklu
şekil.
Krom (Cr), manyetit
(Mg), Gang minera-
li (Sp).

Taneler öz-yarı öz şekilli bazen de yuvarlaklaşmış olarak gözlenmekte olup, tane boyları 0.007 mm. ile 1.43 mm. arasında değişmektedir.

Tablo-4: G.C. AMSTUNZ'UN GEOMETRİK SINIFLAMASI
(1954, 1960)



Tip 1a. Basit büyümeye şekli.
(Doğru çizgi halinde veya hafif bükülmüş hane huduðu.)

Tip 1b. Lekeli, noktalı, amip benzeri büyümeye şekli.

Tip 1c. Grafik, mirmekitik (=ötetik) şekiller.

Tip 1d. Emülsiyon, damla, toz gibi ufak noktalı şekiller.

Tip 2a. Zonlu, örtülü (mantolu) taneler, yüzük, kabuk ve atol şeklindeki büyümeye şekilleri.

Tip 2b. Sferolitik, tekrarlanan kabuklar halinde büyümeye şekilleri.

Tip 3a. Damar, ip ve yatak şekilleri.

Tip 3b. Lamelli, tekrarlanan tabakalar şeklinde büyümeye.

Tip 3c. Ağ, elek ve oktaedrik yapılı büyümeler.

Vİ. SONUÇ VE ÖNERİLER

1. Çalışma alanındaki kromitler, Yeşilova ofiyolitini oluşturan tektonitler (harzburjit, dunit) içerisinde yer almaktadır.
2. Kromitler başlıca masif ve benekli yapıya sahip olup, düzensiz, irili ufaklı mercekler şeklinde bulunmaktadır.
3. Çalışma alanında mevcut olan kromit ocaklarının biri açık işletme, diğer beş tanesi galeriler açılarak işletilmektedir. Ancak, bölgede tektonizmanın yoğun olması nedeniyle cehverleşme zaman zaman izlenmemiştir, bunun sonucunda bazı ocaklarda işletme durdurulmuştur.
4. Kromit kütleleri, N10°-35°E doğrultulu, 30°-67°SE eğimli ve N30°-35°W doğrultulu, 30SW eğimlidir.
5. Mikroskop incelemelerinde, tektonitleri oluşturan harzburjitlerin olivin, ortopiroksen (enstatit) ve ikincil olarak serpantinden oluşturukları tesbit edilmiştir. Bölge ileri derecede tektonik hareketlere maruz kaldığından ve dolayısıyla kayaçlar yoğun serpentinleştiğinden ilksel kayaçları tanıtmakta oldukça güçlük çekilmektedir.
6. Polarizan mikroskobunda incelenen ince kesitlerde gang minerali olarak gözlenen serpentin mineralleri ile olivin kalıntıları, ortopiroksen ve bazılarda klorit, kemererit, kalsit görülmüştür.

7. Maden mikroskobunda incelenen parlak kesitlerde kromitlerin kataklazmaya uğradıkları, öz-yarı öz şekilli oldukları ve bazlarında kromit tanelerinin kenar ve çatlakları boyunca manyetitleştiği saptanmıştır. Ayrıca Ni minerali olan heslavodite rastlanmışsa da eser miktarda olduğundan ekonomik değildir.

8. Kromit-yankayaç örneklerinin kantitatif kimyasal analizleri sonucunda krom tenörü %22.50-45.30 Cr_2O_3 olarak bulunmuştur.

9. Benekli cevherler üzerinde yapılan tane sayısına göre serbestleşme tane boyutu 200 mikron olarak belirlenmiştir.

10. G.C.Amstunz (1960)'ın geometrik sınıflamasına göre kromit tane yapısının 1a ve 2a tipi olduğu tespit edilmiştir.

Bu verilere göre, düşük tenörlü kromitlerin piyasaya uygun hale gelebilmesi için cevher zenginleştirme işlemlerinin yapılması gerekmektedir. Bunu da en ekonomik olarak gerçeklestirebilmek için kromit 200 mikrona kadar öğütülmelidir. Daha küçük boyutlara öğütürse, öğütme işlemleri masraflı olacağından ekonomiklikten uzaklaşılır.

YARARLANILAN KAYNAKLAR

AYTEKİN, Y., (1979), İnce Tane Ölçüm Yöntemleri, E.Ü.
Mak.Fak.Yay.No:2, İZMİR.

ARIOĞLU, E., ve Diğerleri, (1987), Türkiye kromit ma-
denciliğine toplu bakış. A.Ü.Müh.Fak.
Dergisi, ISPARTA.

ASLANER, G., (1970), Türkiye kromitlerinden bazılarda
izlenen karışım kristal yapısının ve çe-
şitli etkenlerle meydana gelen sekonder
oluşumlarının maden mikroskobik incelen-
mesi, M.T.A.Yayını, Sayı:74, ANKARA.

BLUMENTAL, M.M., (1963), Le systeme structural du systeme
Sud-Anatolien: In Livre a la memoire du
Professeur P.Falot Mem.hs.ser.Soc.Geo.France.

BORCHERT, H., (1960), Türkiye'de inisiyal ofiyolitik
magmatizmaya ait krom ve bakır cevheri
yatakları, M.T.A.Yayını, No:102, ANKARA.

ÇAĞATAY, A., (1979), Maden mikroskopisi, TMMOB Yay.2,
ANKARA.

DICKEY, J.S., (1975) An hypothesis of origin for
podiform chromite deposits. Geochim et
Cosmochim Acta, 39, 1061-1074.

ENGİN, T., (1983), Guleman (Elazığ) Krom yatakları ve
peridotit biriminin genel jeoloji konumu
ve yapısal özellikleri: M.T.A.E.Dergisi
95/96 77-100, ANKARA.

GEDİKOĞLU, A., (1979), Maden Yatakları Ders Notları,
Akdeniz Üniversitesi, Isparta Müh.Fak.
(Baskıda), ISPARTA.

GÖYMEN, G., (1977), Maden Minerallerinin yapı ve doku-
lari, Eskişehir DMMA Yayınları, No:5,
ESKİSEHIR.

GÜMÜŞ, A., (1978), Maden Yatakları Kitabı, İZMİR.

JACKSON, E.D., (1961), Primary textures and mineral
associations in ultramafic zone of the
stillwater complex, Montana:U.S.G.S.P.P.
358,106.

KARAMAN, T., (1987), Yeşilova ve Tefenni (Burdur) batı-
sında kalan alanın jeolojisi ve petrog-
rafisi, S.Ü.Yüksek Lisans Tez Çalışma-
ması,

KUŞCU, M., (1989), Kızıldağ (Eğirdir-Isparta) krom ya-
taklarının özellikleri, S.Ü.Müh.Mim.Der.
(Yayında), Konya.

TANDOĞAN ve Diğerleri, (1983), Guleman (Elazığ) krom
yatakları ve peridotit biriminin genel
jeoloji konumu ve yapısal özellikleri
M.T.A.E.Dergisi, Sayı:95/96, ANKARA.

THAYER, T.P., (1960), Some critical differences between
Alpine type and stratiform peridotite
gabro complexes 21st Intern Geol.Congr.,
Copenhagen, Repts, 13, 247-259.

TURGUT, C.B., (1979), Cevher hazırlamada zenginleştirme
öncesi işlemler, İ.T.Ü.Sayı:1150,
İSTANBUL.

UZ, B., (1986), Maden ve Jeoloji Mühendisliğinde Petrografik Prensipleri, İ.T.Ü., İSTANBUL.

ÜŞÜMEZSOY, Ş., (1986), Kefdağ ve Sarıdağ (Guleman) kromit kütlelerinin oluşumu üzerine yeni bir yaklaşım, Jeo.Müh.Der.Sayı:29, ANKARA.

Akdeniz Üniversitesi
Rektörlüğü Kütuphanesi
Demirbaş No. 4940

F: 25.000 TL